

(12) DEMANDE INTERNATIONALE PUBLIÉE EN VERTU DU TRAITÉ DE COOPÉRATION  
EN MATIÈRE DE BREVETS (PCT)

(19) Organisation Mondiale de la Propriété  
Intellectuelle  
Bureau international



(43) Date de la publication internationale  
27 janvier 2005 (27.01.2005)

PCT

(10) Numéro de publication internationale  
**WO 2005/007653 A2**

(51) Classification internationale des brevets<sup>7</sup> :  
**C07D 471/04**

Louvres (FR). **TABART, Michel**; 3, rue Paul Langevin,  
F-91290 La Norville (FR).

(21) Numéro de la demande internationale :  
PCT/FR2004/001778

(74) Mandataire : **RABOIN, Jean-Christophe**; AVENTIS  
PHARMA S.A., Direction Brevets, 20, avenue Raymond  
Aron, F-92165 Antony Cedex (FR).

(22) Date de dépôt international : 8 juillet 2004 (08.07.2004)

(25) Langue de dépôt : français

(26) Langue de publication : français

(30) Données relatives à la priorité :  
03/08442 10 juillet 2003 (10.07.2003) FR  
03/08441 10 juillet 2003 (10.07.2003) FR

(81) États désignés (sauf indication contraire, pour tout titre de protection nationale disponible) : AE, AG, AL, AM, AT, AU, AZ, BA, BB, BG, BR, BW, BY, BZ, CA, CH, CN, CO, CR, CU, CZ, DE, DK, DM, DZ, EC, EE, EG, ES, FI, GB, GD, GE, GH, GM, HR, HU, ID, IL, IN, IS, JP, KE, KG, KP, KR, KZ, LC, LK, LR, LS, LT, LU, LV, MA, MD, MG, MK, MN, MW, MX, MZ, NA, NI, NO, NZ, OM, PG, PH, PL, PT, RO, RU, SC, SD, SE, SG, SK, SL, SY, TJ, TM, TN, TR, TT, TZ, UA, UG, UZ, VC, VN, YU, ZA, ZM, ZW.

(71) Déposant : **AVENTIS PHARMA S.A.** [FR/FR]; 20, avenue Raymond Aron, F-92160 Antony (FR).

(84) États désignés (sauf indication contraire, pour tout titre de protection régionale disponible) : ARIPO (BW, GH, GM, KE, LS, MW, MZ, NA, SD, SL, SZ, TZ, UG, ZM, ZW), eurasien (AM, AZ, BY, KG, KZ, MD, RU, TJ, TM), européen (AT, BE, BG, CH, CY, CZ, DE, DK, EE, ES, FI, FR, GB, GR, HU, IE, IT, LU, MC, NL, PL, PT, RO, SE, SI, SK, TR), OAPI (BF, BJ, CF, CG, CI, CM, GA, GN, GQ, GW, ML, MR, NE, SN, TD, TG).

(72) Inventeurs: **THOMPSON, Fabienne**; 25, rue Cotte, F-75012 Paris (FR). **MAILLET, Patrick**; 87, rue Dalayrac, F-94120 Fontenay sous Bois (FR). **DAMI-ANO, Teresa**; 125, rue de Tolbiac, F-75013 Paris (FR). **CHERRIER, Marie-Pierre**; 75, avenue Georges Gosnat, F-94200 Ivry sur Seine (FR). **CLERC, François**; 35, boulevard Colbert, F-92160 Antony (FR). **HALLEY, Frank**; 26, rue de la Borne au Diable, F-92310 Sèvres (FR). **BOUCHARD, Hervé**; 17, allée de la Prévôté, F-94320 Thiais (FR). **GAUZY-LAZO, Laurence**; 14, rue Liancourt, F-75014 Paris (FR). **BAUDOIN, Bernard**; 3, rue Anatole France, F-92370 Chaville (FR). **SOUAILLE, Catherine**; 12, avenue Jean Bouin, F-94600 Choisy le Roi (FR). **VIVIANI, Fabrice**; 46, rue Jules Fossier, F-95380

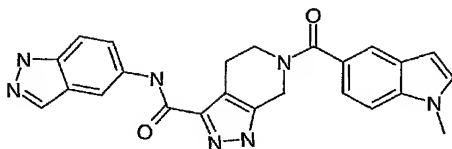
**Publiée :**

— sans rapport de recherche internationale, sera republiée dès réception de ce rapport

En ce qui concerne les codes à deux lettres et autres abréviations, se référer aux "Notes explicatives relatives aux codes et abréviations" figurant au début de chaque numéro ordinaire de la Gazette du PCT.

(54) Title: SUBSTITUTED TETRAHYDRO-1<D>H</D>-PYRAZOLO[3,4-C]PYRIDINES, COMPOSITIONS CONTAINING SAME AND USE

(54) Titre : TETRAHYDRO-1H-PYRAZOLO[3,4-C]PYRIDINES SUBSTITUÉES, COMPOSITIONS LES CONTENANT ET UTILISATION



(I)

(57) Abstract: The invention concerns substituted tetrahydro-1<D>H</D>-pyrazolo[3,4-c]pyridines, compositions containing same and use thereof. The invention concerns in particular novel substituted tetrahydro-1<D>H</D>-pyrazolo[3,4-c]pyridines having a therapeutic activity, useful in particular in oncology.

(57) Abrégé : Tétrahydro-1H-pyrazolo[3,4-c]pyridines substituées, compositions les contenant et utilisation. La présente invention concerne notamment de nouvelles tétrahydro-1H-pyrazolo[3,4-c]pyridines substituées ayant une activité thérapeutique, utilisables en particulier en oncologie.



WO 2005/007653 A2

TETRAHYDRO-1H-PYRAZOLO[3,4-c]PYRIDINES SUBSTITUEES.  
COMPOSITIONS LES CONTENANT ET UTILISATION.

La présente invention concerne de nouveaux composés chimiques, particulièrement de nouvelles tétrahydro-1H-pyrazolo[3,4-c]pyridines, des  
5 compositions les contenant, et leur utilisation comme médicaments.

Plus particulièrement, l'invention concerne de nouvelles tétrahydro-1H-pyrazolo[3,4-c]pyridines présentant une activité anticancéreuse, et en particulier une activité inhibitrice de kinases, notamment Tie2.

Seules quelques tétrahydro-1H-pyrazolo[3,4-c]pyridines sont connues.

10 Ainsi, WO 02/012442 divulgue des tétrahydro-1H-pyrazolo[3,4-c]pyridines substituées en position 5 par un groupement amino, éventuellement substitué. Ces produits sont utiles pour le traitement du cancer et d'autres maladies liées à une prolifération cellulaire.

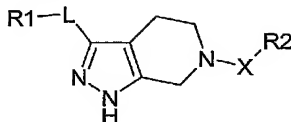
P. Krogsgaard-Larsen et al. dans Eur. J. Med. Chemical – Chim. Ther.  
15 (1979), 14(2), p.157-164 divulgue deux tétrahydro-1H-pyrazolo[3,4-c]pyridines substituées en position 3 par un groupement hydroxy.

WO 96/12720 revendique des tétrahydro-1H-pyrazolo[3,4-c]pyridines substituées en position 3 par des substituants choisis parmi H, alkyle, alkylène, cycloalkyle, et méthylèncycloalkyle, et en positions 1 et 6 par des  
20 substituants variés. Ces produits sont décrits comme inhibiteurs (i) de phosphodiesterase de type IV (PDE-IV), et (ii) de facteur de nécrose tumorale (TNF), et sont, de ce fait, considérés utiles dans le traitement de maladies inflammatoires. Aucun exemple de composé selon l'invention n'est divulgué.

Des tentatives pour obtenir des inhibiteurs efficaces de Tie2 ont déjà abouti  
25 dans le passé (voir à ce propos, par exemple, WO 98/02434 ; WO 98/41525 ; WO 99/10325 ; WO 99/17770 ; WO 99/54286 ; WO 99/21859 ; WO 99/55335 ; WO 00/17202 ; WO 00/17203 ; WO 00/27822 ; WO 00/75139 ; WO 01/37835 ; WO 01/57008 ; WO 01/72751 ; WO 02/060382 ; WO 02/076396 ; WO 02/076463 ; WO 02/076954 ; WO 02/076984 ; WO  
30 02/076985 ; WO 02/080926 ; WO 03/004488).

Toutefois, aucun de ces documents ne divulgue de dérivés de 4,5,6,7-tétrahydro-1H-pyrazolo[3,4-c]pyridines telles que définies plus loin, présentant une activité à l'encontre de kinases, en particulier Tie2.

A cet effet, les produits conformes à l'invention selon son premier aspect répondent à la formule (I) suivante :



(I)

5 et ses tautomères, dans laquelle :

L est choisi parmi liaison, CH<sub>2</sub>, CO, SO<sub>2</sub>, CONH, COO, NHCO, NH, NHSO<sub>2</sub>, SO<sub>2</sub>NH, NHCONH, CH<sub>2</sub>NH, NHCH<sub>2</sub>,

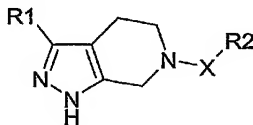
X est choisi parmi liaison, CH<sub>2</sub>, CO, SO<sub>2</sub>, CONH, COO ;

10 R1 est choisi parmi OH, H, alkyle, cycloalkyle, hétérocyclyle, aryle, hétéroaryle, éventuellement substitué, et, lorsque X est liaison, alors R1 peut aussi être halogène;

R2 est H ou choisi parmi alkyle, alkylène, cycloalkyle, hétérocyclyle, aryle, hétéroaryle, éventuellement substitué ;

15 les substituants étant indépendamment choisis parmi R3, O-R3, halogène, NO<sub>2</sub>, SO<sub>2</sub>-R3, CO-R3, SO<sub>2</sub>NH-R3, CONH-R3, N-(R3)<sub>2</sub>, NHCO-R3, NHSO<sub>2</sub>-R3, NHCONH-R3, NHSO<sub>2</sub>NH-R3, OCO-R3, COO-R3, OSO<sub>2</sub>-R3, SO<sub>2</sub>O-R3, OCONH-R3, OSO<sub>2</sub>NH-R3, où chaque R3 est indépendamment choisi parmi H, alkyle, cycloalkyle, alcényle, aryle, hétéroaryle, hétérocyclyle, éventuellement substitué par halogène, aryle, hétéroaryle, R4, OR4, N(R4)<sub>2</sub>,  
20 chaque R4 étant indépendamment choisi parmi H, C1-C4 alkyle, et C1-C4 alkyle halogéné.

Des produits conformes à l'invention selon son premier aspect sont plus particulièrement choisis parmi des produits de formule générale (II) suivante :



(II)

25

et ses tautomères, dans laquelle :

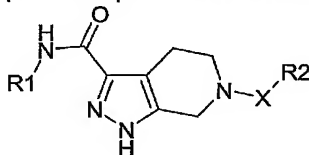
X est choisi parmi liaison, CH<sub>2</sub>, CO, SO<sub>2</sub>, CONH, COO ;

R<sub>1</sub> est choisi parmi alkyle, cycloalkyle, hétérocyclyle, aryle, hétéroaryle, éventuellement substitué ;

5 R<sub>2</sub> est H ou choisi parmi alkyle, alkylène, cycloalkyle, hétérocyclyle, aryle, hétéroaryle, éventuellement substitué ;

les substituants étant indépendamment choisis parmi R<sub>3</sub>, O-R<sub>3</sub>, halogène, NO<sub>2</sub>, SO<sub>2</sub>-R<sub>3</sub>, CO-R<sub>3</sub>, SO<sub>2</sub>NH-R<sub>3</sub>, CONH-R<sub>3</sub>, N-(R<sub>3</sub>)<sub>2</sub>, NHCO-R<sub>3</sub>, NHSO<sub>2</sub>-R<sub>3</sub>, NHCONH-R<sub>3</sub>, NHSO<sub>2</sub>NH-R<sub>3</sub>, OCO-R<sub>3</sub>, COO-R<sub>3</sub>, OSO<sub>2</sub>-R<sub>3</sub>, SO<sub>2</sub>O-R<sub>3</sub>, OCONH-R<sub>3</sub>, OSO<sub>2</sub>NH-R<sub>3</sub>, où chaque R<sub>3</sub> est indépendamment choisi parmi  
 10 H, alkyle, cycloalkyle, alcényle, aryle, hétéroaryle, hétérocyclyle, éventuellement substitué par halogène, aryle, hétéroaryle, OR<sub>4</sub>, N(R<sub>4</sub>)<sub>2</sub>, où chaque R<sub>4</sub> est indépendamment choisi parmi H, C<sub>1</sub>-C<sub>4</sub> alkyle.

Des produits conformes à l'invention selon son premier aspect sont plus particulièrement choisis parmi des produits de formule générale (III) suivante :



(III)

et ses tautomères, dans lesquels :

X est choisi parmi liaison, CH<sub>2</sub>, CO, SO<sub>2</sub>, CONH, COO ;

20 R<sub>1</sub> est choisi parmi alkyle, cycloalkyle, hétérocyclyle, aryle, hétéroaryle, éventuellement substitué ;

R<sub>2</sub> est H ou choisi parmi alkyle, alkylène, cycloalkyle, hétérocyclyle, aryle, hétéroaryle, éventuellement substitué ;

dans lequel les substituants sont indépendamment choisis parmi R<sub>3</sub>, O-R<sub>3</sub>, halogène, NO<sub>2</sub>, SO<sub>2</sub>-R<sub>3</sub>, CO-R<sub>3</sub>, SO<sub>2</sub>NH-R<sub>3</sub>, CONH-R<sub>3</sub>, N-(R<sub>3</sub>)<sub>2</sub>, NHCO-R<sub>3</sub>, NHSO<sub>2</sub>-R<sub>3</sub>, NHCONH-R<sub>3</sub>, NHSO<sub>2</sub>NH-R<sub>3</sub>, OCO-R<sub>3</sub>, COO-R<sub>3</sub>, OSO<sub>2</sub>-R<sub>3</sub>, SO<sub>2</sub>O-R<sub>3</sub>, OCONH-R<sub>3</sub>, OSO<sub>2</sub>NH-R<sub>3</sub>, dans lequel chaque R<sub>3</sub> est  
 25 indépendamment choisi parmi H, alkyle, cycloalkyle, alcényle, aryle, hétéroaryle, hétérocyclyle, éventuellement substitué par halogène, aryle,

hétéroaryle, OR<sub>4</sub>, N(R<sub>4</sub>)<sub>2</sub>, et dans lequel chaque R<sub>4</sub> est indépendamment choisi parmi H, C<sub>1</sub>-C<sub>4</sub> alkyle.

- Un produit conforme à l'invention est avantageusement choisi parmi les produits selon son premier aspect, dans lesquels R<sub>1</sub> est hétéroaryle, éventuellement substitué, dans lequel un hétéroaryle préféré est choisi parmi benzimidazolyle, indolyle, pyrrolyle, éventuellement substitué par halogène, R<sub>4</sub>, O-R<sub>4</sub>.

- Plus particulièrement, un hétéroaryle préféré est choisi parmi benzimidazol-2-yle, indol-2-yle, pyrrol-2-yle, éventuellement substitué par halogène, R<sub>4</sub>, O-R<sub>4</sub>.

Un produit conforme à l'invention selon son premier aspect a avantageusement un substituant R<sub>2</sub> choisi parmi phényle, pyridyle, thiényle, C<sub>1</sub>-C<sub>4</sub> alkyle, et C<sub>3</sub>-C<sub>7</sub> cycloalkyle, éventuellement substitué.

X peut être avantageusement choisi parmi CO et SO<sub>2</sub>.

- Un produit conforme à l'invention selon son premier aspect est avantageusement choisi parmi les produits de formule (I), dans laquelle R<sub>1</sub> est H.

Un produit préféré est avantageusement choisi parmi les produits de formule (I) dans lesquels R<sub>1</sub> est aryle substitué.

- Selon un premier mode de réalisation préféré, un produit préféré est avantageusement choisi parmi les produits de formule générale (I) dans lesquels R<sub>1</sub>-L est R<sub>1</sub>-NH-CO, et plus préférentiellement dans les cas où R<sub>1</sub> est H.

- Très préférentiellement, et selon un second mode de réalisation préféré, un produit préféré est avantageusement choisi parmi (i) les produits de formule générale (I) ou (ii) de préférence les produits selon le premier mode de réalisation préféré, dans laquelle X est liaison, et dans laquelle R<sub>2</sub> est choisi parmi aryle substitué et hétéroaryle substitué.

- Selon un troisième mode de réalisation préféré, un produit plus préféré est choisi parmi les produits conformes à l'invention selon son second mode de réalisation, dans lequel R<sub>2</sub> est choisi parmi

- aryle substitué par  $\text{NHSO}_2\text{-R}_3$  ou  $\text{NHCONH-R}_3$ , et
- hétéroaryle substitué par  $\text{NHSO}_2\text{-R}_3$ , ou  $\text{NHCONH-R}_3$ .

Des produits selon le troisième mode de réalisation préféré sont avantageusement choisis parmi

- 5
- aryle substitué par  $\text{NHSO}_2\text{-R}_3$  ou  $\text{NHCONH-R}_3$ , et
  - hétéroaryle substitué par  $\text{NHSO}_2\text{-R}_3$ , ou  $\text{NHCONH-R}_3$ ,

dans lequel aryle est phényle, et dans lequel hétéroaryle est choisi parmi pyridyle et pyrimidyle.

Selon un quatrième mode de réalisation, des produits selon le troisième

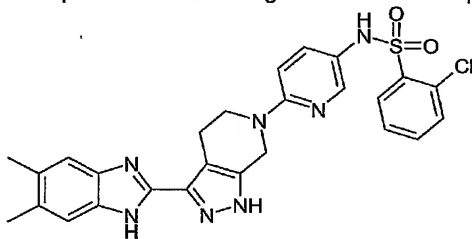
- 10
- mode de réalisation préféré sont avantageusement choisis parmi

- aryle substitué par  $\text{NHSO}_2\text{-R}_3$  ou  $\text{NHCONH-R}_3$ , et
- hétéroaryle substitué par  $\text{NHSO}_2\text{-R}_3$ , ou  $\text{NHCONH-R}_3$ ,

dans lesquels  $\text{R}_3$  est choisi parmi aryle substitué et hétéroaryle substitué, dans lequel  $\text{R}_3$  est avantageusement substitué par un substituant sélectionné

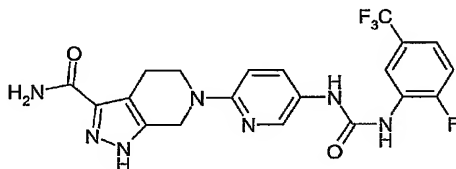
- 15
- dans le groupe constitué par halogène,  $\text{R}_4$ ,  $\text{OR}_4$ ,  $\text{N(R}_4)_2$ , dans lequel chaque  $\text{R}_4$  est indépendamment choisi parmi H, C1-C4 alkyle, et C1-C4 alkyle halogéné.

Selon un cinquième mode de réalisation, des produits selon le quatrième mode de réalisation préféré sont avantageusement choisis parmi:



20

, et



Un produit conforme à l'invention selon son premier aspect, peut se présenter sous forme :

- 1) racémique, ou
- 2) enrichie en un stéréoisomère, ou
- 3) enrichie en un énantiomère ;

et être éventuellement salifié.

- 5 Selon un second aspect, l'invention concerne des compositions pharmaceutiques comprenant un produit tel que défini précédemment, en combinaison avec un excipient pharmaceutiquement acceptable.

- Selon un troisième aspect, l'invention concerne l'utilisation d'un produit tel que défini précédemment, comme agent modulant l'activité d'une kinase. Une  
10 kinase préférée sera avantageusement choisie parmi Tie2 et KDR. Tie2 est plus préférée.

Selon son troisième aspect, l'invention concerne l'utilisation d'un produit tel que défini précédemment, pour la fabrication d'un médicament utile pour traiter un état pathologique, en particulier le cancer.

- 15 Des produits conformes à l'invention peuvent être obtenus par de méthodes bien connues de l'homme de l'art, en particulier en ce qui concerne les techniques de couplage entre un acide et une amine. Voir, par exemple, J. March, *Advanced organic chemistry*, (J. Wiley & Sons, ed.), quatrième édition, 1992.
- 20 Les produits de l'invention sont utiles comme agents inhibiteurs d'une réaction catalysée par une kinase. Tie2 est une kinase pour laquelle les produits de l'invention seront particulièrement utiles en tant qu'inhibiteurs. Ces produits peuvent aussi être utiles comme inhibiteurs d'autres kinases telles que KDR.
- 25 Des raisons pour lesquelles ces kinases sont choisies sont données ci-après :

#### **Tie2**

- Tie-2 (TEK) est un membre d'une famille de récepteurs à tyrosine kinase, spécifique des cellules endothéliales. Tie2 est le premier récepteur à activité  
30 tyrosine kinase dont on connaît à la fois l'agoniste (angiopoïétine 1 ou Ang1) qui stimule l'autophosphorylation du récepteur et la signalisation cellulaire [S. Davis *et al* (1996) *Cell* 87, 1161-1169] et l'antagoniste (angiopoïétine 2 ou Ang2) [P.C. Maisonpierre *et al.* (1997) *Science* 277, 55-60]. L'angiopoïétine 1 peut synergiser avec le VEGF dans les derniers stades de la néo-

angiogénèse [Asahara T. *Circ. Res.* (1998) 233-240]. Les expériences de knock-out et les manipulations transgéniques de l'expression de Tie2 ou de Ang1 conduisent à des animaux qui présentent des défauts de vascularisation [D.J. Dumont et al (1994) *Genes Dev.* 8, 1897-1909 et C. Suri (1996) *Cell* 87, 1171-1180]. La liaison d'Ang1 à son récepteur conduit à l'autophosphorylation du domaine kinase de Tie2 qui est essentielle pour la néovascularisation ainsi que pour le recrutement et l'interaction des vaisseaux avec les péricytes et les cellules musculaires lisses ; ces phénomènes contribuent à la maturation et la stabilité des vaisseaux nouvellement formés [P.C. Maisonpierre et al (1997) *Science* 277, 55-60]. Lin et al (1997) *J. Clin. Invest.* 100, 8: 2072-2078 et Lin P. (1998) *PNAS* 95, 8829-8834, ont montré une inhibition de la croissance et de la vascularisation tumorale, ainsi qu'une diminution des métastases de poumon, lors d'infections adénovirales ou d'injections du domaine extracellulaire de Tie-2 (Tek) dans des modèles de xénograpes de tumeur du sein et de mélanome.

Les inhibiteurs de Tie2 peuvent être utilisés dans les situations où une néovascularisation se fait de façon inappropriée (c'est-à-dire dans la rétinopathie diabétique, l'inflammation chronique, le psoriasis, le sarcome de Kaposi, la néovascularisation chronique due à la dégénération maculaire, l'arthrite rhumatoïde, l'hémoangiome infantile et les cancers).

### KDR

KDR (Kinase Insert Domain Receptor) aussi appelée VEGF-R2 (Vascular Endothelial Growth Factor Receptor 2), est exprimé uniquement dans les cellules endothéliales. Ce récepteur se fixe au facteur de croissance angiogénique VEGF, et sert ainsi de médiateur à un signal transductionnel via l'activation de son domaine kinase intracellulaire. L'inhibition directe de l'activité kinase de VEGF-R2 permet de réduire le phénomène d'angiogénèse en présence de VEGF exogène (Vascular Endothelial Growth Factor : facteur de croissance vasculaire endothélial) (Strawn et al., *Cancer Research*, 1996, vol. 56, p.3540-3545). Ce processus a été démontré notamment à l'aide de mutants VEGF-R2 (Millauer et al., *Cancer Research*, 1996, vol. 56, p.1615-1620). Le récepteur VEGF-R2 semble n'avoir aucune autre fonction chez l'adulte que celle liée à l'activité angiogénique du VEGF. Par conséquent, un inhibiteur sélectif de l'activité kinase du VEGF-R2 ne devrait démontrer que peu de toxicité.



- En plus de ce rôle central dans le processus dynamique angiogénique, des résultats récents suggèrent que l'expression de VEGF contribue à la survie des cellules tumorales après des chimio- et radio-thérapies, soulignant la synergie potentielle d'inhibiteurs de KDR avec d'autres agents (Lee et al. *Cancer Research*, 2000, vol. 60, p.5565-5570).

### **Partie expérimentale**

#### **Méthode A : Analyse par LC/MS**

- Les analyses LC/MS ont été réalisées sur un appareil Micromass modèle LCT relié à un appareil HP 1100. L'abondance des produits a été mesurée à l'aide d'un détecteur à barrette de diodes HP G1315A sur une gamme d'onde de 200-600 nm et un détecteur à dispersion de lumière Sedex 65. L'acquisition des spectres de masses Mass spectra a été réalisée sur une gamme de 180 à 800. Les données ont été analysées en utilisant le logiciel Micromass MassLynx. La séparation a été effectuée sur une colonne Hypersil BDS C18, 3 µm (50 x 4.6 mm), en éluant par un gradient linéaire de 5 à 90% d'acétonitrile contenant 0,05% (v/v) d'acide trifluoroacétique (TFA) dans l'eau contenant 0,05% (v/v) TFA en 3,5 mn à un débit de 1 mL/mn. Le temps total d'analyse, incluant la période de rééquilibration de la colonne, est de 7 mn.

#### **Méthode B : Purification par LC/MS:**

- Les produits ont été purifiés par LC/MS en utilisant un système Waters FractionsLynx composé d'une pompe à gradient Waters modèle 600, d'une pompe de régénération Waters modèle 515, d'une pompe de dilution Waters Reagent Manager, d'un auto-injecteur Waters modèle 2700, de deux vannes Rheodyne modèle LabPro, d'un détecteur à barrette de diodes Waters modèle 996, d'un spectromètre de masse Waters modèle ZMD et d'un collecteur de fractions Gilson modèle 204. Le système étant contrôlé par le logiciel Waters FractionLynx. La séparation a été effectuée alternativement sur deux colonnes Waters Symmetry (C<sub>18</sub>, 5µm, 19x50 mm, référence catalogue 186000210), une colonne étant en cours de régénération par un mélange eau / acétonitrile 95/5 (v/v) contenant 0,07% (v/v) d'acide trifluoroacétique, pendant que l'autre colonne est en cours de séparation. L'élution des colonnes a été effectuée en utilisant un gradient linéaire de 5 à 95% d'acétonitrile contenant 0,07% (v/v) d'acide trifluoroacétique dans l'eau contenant 0,07% (v/v) d'acide trifluoroacétique, à un débit de 10 mL/mn. A la sortie de la colonne de séparation, un millièrne de l'effluent est séparé par un

- LC Packing Accurate, dilué à l'alcool méthylique à un débit de 0,5 mL/mn et envoyé vers les détecteurs, à raison de 75% vers le détecteur à barrette de diodes, et les 25% restants vers le spectromètre de masse. Le reste de l'effluent (999/1000) est envoyé vers le collecteur de fractions où le flux est éliminé tant que la masse du produit attendu n'est pas détectée par le logiciel FractionLynx. Les formules moléculaires des produits attendus sont fournies au logiciel FractionLynx qui déclenche la collecte du produit quand le signal de masse détecté correspond à l'ion  $[M+H]^+$  et/ou au  $[M+Na]^+$ . Dans certains cas, dépendant des résultats de LC/MS analytique, quand un ion intense correspondant à  $[M+2H]^{++}$  a été détecté, la valeur correspondant à la moitié de la masse moléculaire calculée (MW/2) est aussi fournie au logiciel FractionLynx. Dans ces conditions, la collecte est aussi déclenchée quand le signal de masse de l'ion  $[M+2H]^{++}$  et/ou  $[M+Na+H]^{++}$  sont détectés.

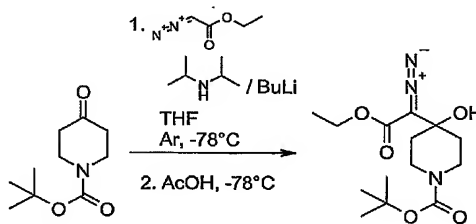
#### Méthode C : Analyse EI

- 15 Les spectres de masse ont été réalisés en impact électronique (70eV) sur spectromètre Finnigan SSQ 7000.

#### Méthode D : Analyse RMN

Les spectres RMN ont été réalisés sur spectromètre BRUKER Avance 300 et BRUKER Avance DRX 400.

- 20 **4-(Diazo-éthoxycarbonyl-méthyl)-4-hydroxy-pipéridine-1-carboxylate de tert-butyle**



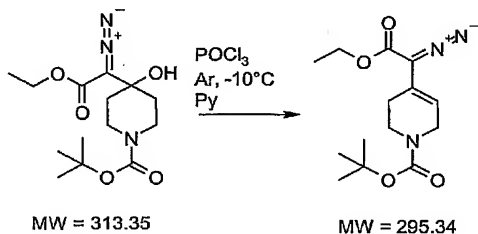
MW = 199.25

MW = 313.35

	CAS	Nom	d	MM	éq	mmol	g	mL
1	79099-07-3	N-Boc-pipéridinone		199.25	1.00	50.19	10.00	
2	623-73-4	diazoacétate d'éthyle	1.085	114.1	1.05	52.70	6.01	5.54

3	109-72-8	BuLi 1,6 M hexane			1.60	80.30		50.19
4	108-18-9	di-isopropyl amine	0.720	101.19	1.60	80.30	8.13	11.29
5	109-99-9	THF sur tamis moléculaire 4Å			10 vol.			500
6	64-19-7	AcOH 100%	1.050	60.05	5.00	250.94	15.07	14.35

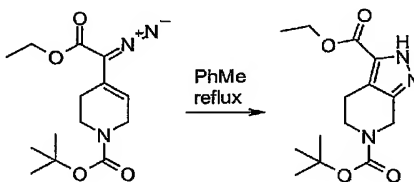
- Une solution fraîchement préparée de LDA ( préparé par addition goutte à goutte sous atmosphère inerte à  $-78^{\circ}\text{C}$  de 50,19 mL de BuLi 1,6M dans l'hexane sur une solution de 11,29 mL de diisopropylamine dans 200 mL de THF sec) est ajoutée goutte à goutte sous atmosphère inerte à  $-78^{\circ}\text{C}$  sur 10.0 g de N-Boc-pipéridinone en suspension et 5.54 mL de diazoacétate d'éthyle dans 300 mL de THF sec. Le mélange est agité à  $-78^{\circ}\text{C}$  pendant 4 heures puis est décomposé à  $-78^{\circ}\text{C}$  par 14,35 mL d'AcOH concentré. Le mélange obtenu est laissé à température ambiante pendant une nuit, puis le solvant est évaporé sous pression réduite jusqu'à  $1/10^{\text{ème}}$  de son volume initial, dilué dans de l'oxyde de diisopropyle, et lavé 4 fois avec une solution saturée de  $\text{NaHCO}_3$ . La phase organique est séchée sur  $\text{MgSO}_4$ . Le sel hydraté est éliminé par filtration et le filtrat sec est concentré sous pression réduite pour fournir 15,12g d'une huile visqueuse jaune. LC/MS:  $\text{RT} = 2.84$   $[\text{M}+1]^+ = 304.33$ . Le produit est utilisé tel quel pour l'étape suivante.
- 15 **4-(Diazo-éthoxycarbonyl-méthyl)- 3,6-dihydro-2H-pyridine -1-carboxylate de tert-butyle**



	CAS	Nom	d	MM	éq	mmol	g	mL
1		P-31391-106-4		313.35	1	48.25	15.12	
2	10025-87-3	POCl <sub>3</sub>	1.67	153.33	2	96.51	14.80	8.86
3	110-86-1	Pyridine (m.s. 4Å)	0.983	79.1	20	965.06	76.34	77.66
4	108-20-3	<i>i</i> Pr <sub>2</sub> O			5 vol			250
5	1310-73-2	NaOH 0.1M		40	1	48.25		483

- 78,0 mL de pyridine sèche sont ajoutés sur une solution de 15.12 g de 4-(Diazo-éthoxycarbonyl-méthyl)-4-hydroxy-pipéridine-1-carboxylate de tert-butyle dans 250 mL de *i*Pr<sub>2</sub>O. Le mélange est refroidi à -10°C et 8,86 mL de
- 5 POC<sub>l</sub><sub>3</sub> sont ajoutés lentement sous agitation vigoureuse. Le mélange est alors laissé remonter à température ambiante sous agitation pendant 12 heures. Le mélange réactionnel est décomposé par 500 mL d'une solution de NaOH 0.1M, puis est extraite 3 fois avec AcOEt. La phase organique est lavée avec une solution saturée de NaCl et séchée sur MgSO<sub>4</sub>. Le sel
- 10 hydraté est éliminé par filtration et le filtrat sec est concentré sous pression réduite jusqu'à 1/10<sup>ème</sup> de son volume initial. LC/MS: RT = 4.57 [M+1]<sup>+</sup> = 296.31. Le produit est utilisé tel quel pour l'étape suivante.

**2,4,5,7-Tétrahydro-pyrazolo[3,4-*c*]pyridyl-3,6-dicarboxylate de 6-tert-butyle 3-éthyle.**



MW = 295.34

MW = 295.34

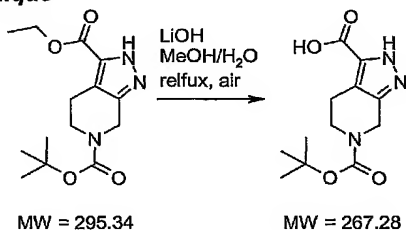
15

	CAS	Nom	d	MM	éq	mmol	mg	mL
1		P-31391-120-4		285.35	1.0	48.25		
2	108-83-3	PhMe						150

La solution de 4-(Diazo-éthoxycarbonyl-méthyl)- 3,6-dihydro-2H-pyridyl-1-carboxylate de tert-butyle dans Py/AcOEt obtenue à l'étape précédente est

- additionnée goutte à goutte sur 150 mL de toluène au reflux. L'azéotrope Py/PhMe est distillé à une vitesse équivalente à la vitesse d'addition. 1 heure après la fin de l'addition, la solution est laissée refroidir à température ambiante, le solvant est évaporé sous pression réduite et le produit brut obtenu (15.05 g) est purifié par flash-chromatographie (SiO<sub>2</sub>, CH<sub>2</sub>Cl<sub>2</sub>/MeOH 1% NH<sub>3</sub> 7M<sub>(MeOH)</sub> 40:1 puis 30:1 puis 20:1). Le solvant est évaporé et 10,05 g (71% sur 3 étapes) d'un solide noir sont obtenus : LC/MS: RT = 3.88 [M+1]<sup>+</sup> = 296,27

10 **Acide (2,4,5,7-Tétrahydro-pyrazolo[3,4-c]pyridyl-6-carboxylate de tert-butyle)-3-carboxylique**



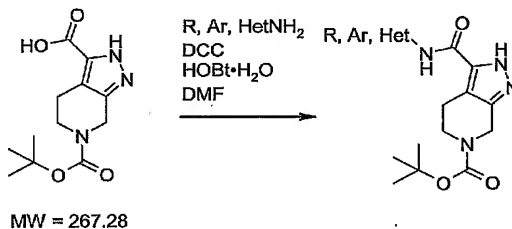
	CAS	Nom	d	MM	éq	mmol	g	mL
1		P-31391-123-1		295.34	1.0	34.03	10.05	
2	1310-66-3	LiOH·H <sub>2</sub> O		41.96	1.1	37.43	1.57	
3	67-56-1	MeOH			10 vol.			375
4	7732-18-5	H <sub>2</sub> O			1vol			38

- 1,57 g de LiOH et 38 mL d'eau sont ajoutés à une solution de 10,05 g de 2,4,5,7-Tétrahydro-pyrazolo[3,4-c]pyridyl-3,6-dicarboxylate de 6-tert-butyle 3-éthyle dans 375 mL de MeOH. Le mélange obtenu est chauffé au reflux pendant une nuit. La solution est refroidie à température ambiante, puis est acidifiée à pH = 2 avec 50 mL d'une solution de HCl 1M. La solution est ensuite extraite 4 fois par AcOEt. La phase organique est lavée par une solution saturée de NaCl puis séchée sur Na<sub>2</sub>SO<sub>4</sub>. Le sel obtenu est éliminé

par filtration, et le solvant est évaporé sous pression réduite pour produire 8,90g (98%) d'un solide blanc. LC/MS: RT = 3.21 [M+1]<sup>+</sup> = 268.23.

### Préparation d'une bibliothèque de produits :

#### 5 **3-(alkylcarbamoyl, arylcarbamoyl, hétéroarylcarbamoyl, etc...)-2,4,5,7-tétrahydro-pyrazolo[3,4-c]pyridine-6-carboxylate de tert-butyle**



	CAS	Nom	d	MM	éq	mmol	g	mL
1		P-31391-031-5		267.28	1.0	3.741	1.00	
		amine			2.0	6.744		
2	538-75-0	DCC		206.33	1.0	3.741	0.772	
3	2592-95-2	HOBT·H <sub>2</sub> O		153.13	1.5	5.612	0.859	
4	68-12-2	DMF			5 vol.			19

### **Méthode générale :**

- Du DCC et de l'HOBT·H<sub>2</sub>O en solution dans le DMF avec 2 éq. d'amine (R, Ar, ou Het)-NH<sub>2</sub> sont ajoutés à une solution de 1 éq. d'acide (2,4,5,7-Tétrahydro-pyrazolo[3,4-c]pyridyl-6-carboxylate de tert-butyle)-3-carboxylique dans le DMF et le mélange est agité à température ambiante pendant 3h. Le solvant est évaporé sous pression réduite à 35°C pendant une nuit. Le produit brut obtenu est purifié par flash-chromatographie (SiO<sub>2</sub>, CH<sub>2</sub>Cl<sub>2</sub>/MeOH 1% NH<sub>3</sub> 7M<sub>(MeOH)</sub> 20:1 puis 10:1 puis 5:1, en fonction des produits).
- 15 Liste des amines R1-NH<sub>2</sub> utilisées (Tableau 1) [Remarque : R1-NH<sub>2</sub> = (R, Ar, ou Het)-NH<sub>2</sub>] :

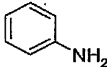
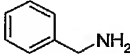
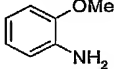
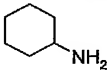
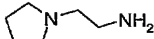
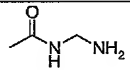
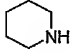
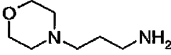
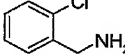
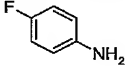

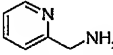
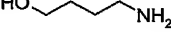
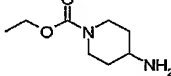
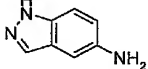
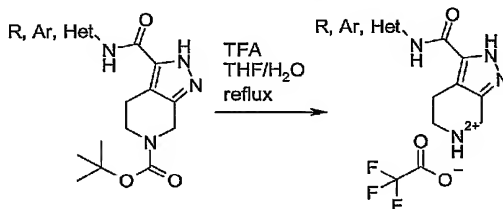
Numéro de référence de l'amine	Structure
1	
2	
3	
4	
5	
6	
7	
8	
9	
10	
11	
12	
13	
14	
15	

Tableau 1

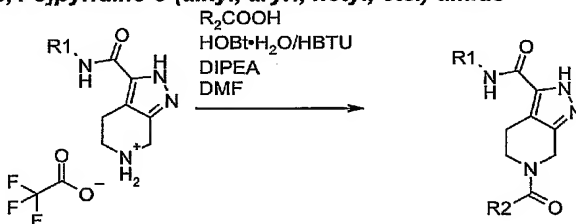
**Trifluoroacétate de 3-(alkylcarbamoyl, arylcarbamoyl, hétéroarylcarbamoyl, etc...)-4,5,6,7-tétrahydro-2H-pyrazolo[3,4-c]pyridin-6-ium**



**Méthode générale :**

- 5 16 éq de TFA sont ajoutés sur 1 éq de 3-(alkylcarbamoyl, arylcarbamoyl, hétéroarylcarbamoyl, etc...)-2,4,5,7-tétrahydro-pyrazolo[3,4-c]pyridine-6-carboxylate de tert-butyle dans une solution 1 :1 THF/eau et la solution est chauffée au reflux pendant 2h. Le solvant est évaporé sous pression réduite et l'huile visqueuse recueillie est séchés sous vide pendant une nuit. Le
- 10 produit ainsi obtenu est utilisé sans purification à l'étape ultérieure.

**- 6-(Alkyl, aryl, hétéroaryl, etc...)carbonyl-4,5,6,7-tétrahydro-2H-pyrazolo[3,4-c]pyridine-3-(alkyl, aryl, hetyl, etc...)-amide**



**Méthode générale :**

- 15 Sur une solution de 1 éq. de trifluoroacétate de 3-(alkylcarbamoyl, arylcarbamoyl, hétéroarylcarbamoyl, etc...)-4,5,6,7-tétrahydro-2H-pyrazolo[3,4-c]pyridin-6-ium dans le DMF sont ajoutés, dans l'ordre, une solution de HOBt·H<sub>2</sub>O 2.5 M (2 éq.) dans le DMF, une solution de HBTU 0.833 M dans le DMF (2 éq.), une solution de DIPEA 2.5 M (4 éq.) dans le
- 20 DMF et une suspension ou une solution à une concentration appropriée d'un R<sub>2</sub>COOH (2 éq.) dans le DMF. Les solutions sont agitées une nuit à température ambiante, puis sont acidifiées avec 100µL d'AcOH 100%, filtrées et purifiées par LC/MS préparative.



Liste des acides R<sub>2</sub>COOH utilisés (tableau 2) :

Numéro de référence de l'acide	Nomenclature
1	Acide 1-phényl-1-cyclopropylcarboxylique
2	Acide acétique
3	Acide propiolique
4	Acide crotonique
5	Acide vinylacétique
6	Acide pyruvique
7	Sarcosine
8	Acide méthoxyacétique
9	Acide lactique
10	Acide 3,3-diméthylacrylique
11	Acide cyclopropylacétique
12	Acide valérique
13	N,N-diméthylglycine
14	Acide 3-mercaptopropionique
15	Acide (méthylthio)acétique
16	Acide pyrrole-2-carboxylique
17	Acide 1-cyanocyclopropane-carboxylique
18	Acide 2-furoïque
19	Acide 4-pyrazolecarboxylique
20	Acide imidazole-4-carboxylique
21	Acide 1-cyclopenténecarboxylique
22	Acide
23	Acide acétoxyacétique
24	Acide hydantoïque
25	Acide benzoïque
26	Acide nicotinique
27	Acide 2-pyrazinacarboxylique
28	Acide o-toluique
29	Acide phénylacétique
30	Acide salicylique
31	Acide 2-fluorobenzoïque
32	Acide 3-cyanobenzoïque

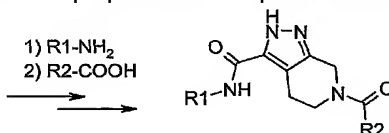
33	Acide 4-vinylbenzoïque
34	Acide 2-phénylpropionique
35	Acide N-méthylanthranilique
36	Acide 2-méthoxybenzoïque
37	Acide 2-hydroxyphénylacétique
38	Acide 4-hydroxyméthylbenzoïque
39	Acide 2-fluorophénylbenzoïque
40	Acide 2,6-difluorobenzoïque
41	Acide indole-3-carboxylique
42	Acide 3,5-diméthylphénylacétique
43	Acide 3-(diméthylamino)benzoïque
44	Acide pipéronylique
45	Acide DL-tropique
46	Acide 3-méthoxyphénylacétique
47	Acide 3-méthoxysalicylique
48	Acide 4-(méthylthio)benzoïque
49	Acide 2-chlorophénylacétique
50	Acide 2-naphtoïque
51	Acide 2-chloro-6-fluorobenzoïque
52	Acide 1-méthylindole-3-carboxylique
53	Acide 3-acétamidobenzoïque
54	Acide 4-(diméthylamino)salicylique
55	Acide 2,3-diméthoxybenzoïque
56	Acide 4-chlorophénylpropionique
57	Acide 2-chloromandélique
58	Acide 2-chloro-6-fluoro-phénylacétique
59	Acide 1-phényl-1-cyclopentanecarboxylique
60	Acide 2,6-dichlorobenzoïque
61	Acide 3-méthyl-2-phénylvalérique
62	Acide 4-phénylbenzoïque
63	Acide 2-chloro-4-nitrobenzoïque
64	Acide 2-benzylbenzoïque
65	Acide 2-phénoxybenzoïque
66	Acide 2-éthoxy-1-naphtoïque
67	Acide 4-(4-N-propylphényl)-benzoïque

68	Acide 3,5-dibromosalicylique
69	Acide 2,6-dichloro-phénylacétique
70	Acide cyanoacétique

Tableau 2

**Résultats**

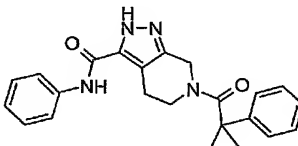
Les produits suivants sont préparés selon le procédé décrit plus haut.



## 5 Schéma A

Afin de simplifier la représentation des produits dans le tableau 3 qui suit, le noyau pyrazolopipéridine présenté sur le schéma A est symbolisé par la lettre H, les amines R1-NH<sub>2</sub> qui sont liées à H sont symbolisées par la lettre B suivie d'un numéro allant de 1 à 15, correspondant aux produits listés dans le tableau 1, les acides R2-COOH qui sont liés à H sont symbolisés par la lettre A suivie d'un numéro de 1 à 70, correspondant aux produits listés dans le tableau 2.

Ainsi un produit noté A1-H-B1 correspond à la structure suivante :



A1-H-B1	A2-H-B1	A3-H-B1	A4-H-B1	A5-H-B1	A6-H-B1	A7-H-B1
A1-H-B2	A2-H-B2	A3-H-B2	A4-H-B2	A5-H-B2	A6-H-B2	A7-H-B2
A1-H-B3	A2-H-B3	A3-H-B3	A4-H-B3	A5-H-B3	A6-H-B3	A7-H-B3
A1-H-B4	A2-H-B4	A3-H-B4	A4-H-B4	A5-H-B4	A6-H-B4	A7-H-B4
A1-H-B5	A2-H-B5	A3-H-B5	A4-H-B5	A5-H-B5	A6-H-B5	A7-H-B5
A1-H-B6	A2-H-B6	A3-H-B6	A4-H-B6	A5-H-B6	A6-H-B6	A7-H-B6
A1-H-B7	A2-H-B7	A3-H-B7	A4-H-B7	A5-H-B7	A6-H-B7	A7-H-B7
A1-H-B8	A2-H-B8	A3-H-B8	A4-H-B8	A5-H-B8	A6-H-B8	A7-H-B8
A1-H-B9	A2-H-B9	A3-H-B9	A4-H-B9	A5-H-B9	A6-H-B9	A7-H-B9

A1-H-B10	A2-H-B10	A3-H-B10	A4-H-B10	A5-H-B10	A6-H-B10	A7-H-B10
A1-H-B11	A2-H-B11	A3-H-B11	A4-H-B11	A5-H-B11	A6-H-B11	A7-H-B11
A1-H-B12	A2-H-B12	A3-H-B12	A4-H-B12	A5-H-B12	A6-H-B12	A7-H-B12
A1-H-B13	A2-H-B13	A3-H-B13	A4-H-B13	A5-H-B13	A6-H-B13	A7-H-B13
A1-H-B14	A2-H-B14	A3-H-B14	A4-H-B14	A5-H-B14	A6-H-B14	A7-H-B14
A1-H-B15	A2-H-B15	A3-H-B15	A4-H-B15	A5-H-B15	A6-H-B15	A7-H-B15
A8-H-B1	A9-H-B1	A10-H-B1	A11-H-B1	A12-H-B1	A13-H-B1	A14-H-B1
A8-H-B2	A9-H-B2	A10-H-B2	A11-H-B2	A12-H-B2	A13-H-B2	A14-H-B2
A8-H-B3	A9-H-B3	A10-H-B3	A11-H-B3	A12-H-B3	A13-H-B3	A14-H-B3
A8-H-B4	A9-H-B4	A10-H-B4	A11-H-B4	A12-H-B4	A13-H-B4	A14-H-B4
A8-H-B5	A9-H-B5	A10-H-B5	A11-H-B5	A12-H-B5	A13-H-B5	A14-H-B5
A8-H-B6	A9-H-B6	A10-H-B6	A11-H-B6	A12-H-B6	A13-H-B6	A14-H-B6
A8-H-B7	A9-H-B7	A10-H-B7	A11-H-B7	A12-H-B7	A13-H-B7	A14-H-B7
A8-H-B8	A9-H-B8	A10-H-B8	A11-H-B8	A12-H-B8	A13-H-B8	A14-H-B8
A8-H-B9	A9-H-B9	A10-H-B9	A11-H-B9	A12-H-B9	A13-H-B9	A14-H-B9
A8-H-B10	A9-H-B10	A10-H-B10	A11-H-B10	A12-H-B10	A13-H-B10	A14-H-B10
A8-H-B11	A9-H-B11	A10-H-B11	A11-H-B11	A12-H-B11	A13-H-B11	A14-H-B11
A8-H-B12	A9-H-B12	A10-H-B12	A11-H-B12	A12-H-B12	A13-H-B12	A14-H-B12
A8-H-B13	A9-H-B13	A10-H-B13	A11-H-B13	A12-H-B13	A13-H-B13	A14-H-B13
A8-H-B14	A9-H-B14	A10-H-B14	A11-H-B14	A12-H-B14	A13-H-B14	A14-H-B14
A8-H-B15	A9-H-B15	A10-H-B15	A11-H-B15	A12-H-B15	A13-H-B15	A14-H-B15
A15-H-B1	A16-H-B1	A17-H-B1	A18-H-B1	A19-H-B1	A20-H-B1	A21-H-B1

A15-H-B2	A16-H-B2	A17-H-B2	A18-H-B2	A19-H-B2	A20-H-B2	A21-H-B2
A15-H-B3	A16-H-B3	A17-H-B3	A18-H-B3	A19-H-B3	A20-H-B3	A21-H-B3
A15-H-B4	A16-H-B4	A17-H-B4	A18-H-B4	A19-H-B4	A20-H-B4	A21-H-B4
A15-H-B5	A16-H-B5	A17-H-B5	A18-H-B5	A19-H-B5	A20-H-B5	A21-H-B5
A15-H-B6	A16-H-B6	A17-H-B6	A18-H-B6	A19-H-B6	A20-H-B6	A21-H-B6
A15-H-B7	A16-H-B7	A17-H-B7	A18-H-B7	A19-H-B7	A20-H-B7	A21-H-B7
A15-H-B8	A16-H-B8	A17-H-B8	A18-H-B8	A19-H-B8	A20-H-B8	A21-H-B8
A15-H-B9	A16-H-B9	A17-H-B9	A18-H-B9	A19-H-B9	A20-H-B9	A21-H-B9
A15-H-B10	A16-H-B10	A17-H-B10	A18-H-B10	A19-H-B10	A20-H-B10	A21-H-B10
A15-H-B11	A16-H-B11	A17-H-B11	A18-H-B11	A19-H-B11	A20-H-B11	A21-H-B11
A15-H-B12	A16-H-B12	A17-H-B12	A18-H-B12	A19-H-B12	A20-H-B12	A21-H-B12
A15-H-B13	A16-H-B13	A17-H-B13	A18-H-B13	A19-H-B13	A20-H-B13	A21-H-B13
A15-H-B14	A16-H-B14	A17-H-B14	A18-H-B14	A19-H-B14	A20-H-B14	A21-H-B14
A15-H-B15	A16-H-B15	A17-H-B15	A18-H-B15	A19-H-B15	A20-H-B15	A21-H-B15
A22-H-B1	A23-H-B1	A24-H-B1	A25-H-B1	A26-H-B1	A27-H-B1	A28-H-B1
A22-H-B2	A23-H-B2	A24-H-B2	A25-H-B2	A26-H-B2	A27-H-B2	A28-H-B2
A22-H-B3	A23-H-B3	A24-H-B3	A25-H-B3	A26-H-B3	A27-H-B3	A28-H-B3
A22-H-B4	A23-H-B4	A24-H-B4	A25-H-B4	A26-H-B4	A27-H-B4	A28-H-B4

A22-H-B5	A23-H-B5	A24-H-B5	A25-H-B5	A26-H-B5	A27-H-B5	A28-H-B5
A22-H-B6	A23-H-B6	A24-H-B6	A25-H-B6	A26-H-B6	A27-H-B6	A28-H-B6
A22-H-B7	A23-H-B7	A24-H-B7	A25-H-B7	A26-H-B7	A27-H-B7	A28-H-B7
A22-H-B8	A23-H-B8	A24-H-B8	A25-H-B8	A26-H-B8	A27-H-B8	A28-H-B8
A22-H-B9	A23-H-B9	A24-H-B9	A25-H-B9	A26-H-B9	A27-H-B9	A28-H-B9
A22-H-B10	A23-H-B10	A24-H-B10	A25-H-B10	A26-H-B10	A27-H-B10	A28-H-B10
A22-H-B11	A23-H-B11	A24-H-B11	A25-H-B11	A26-H-B11	A27-H-B11	A28-H-B11
A22-H-B12	A23-H-B12	A24-H-B12	A25-H-B12	A26-H-B12	A27-H-B12	A28-H-B12
A22-H-B13	A23-H-B13	A24-H-B13	A25-H-B13	A26-H-B13	A27-H-B13	A28-H-B13
A22-H-B14	A23-H-B14	A24-H-B14	A25-H-B14	A26-H-B14	A27-H-B14	A28-H-B14
A22-H-B15	A23-H-B15	A24-H-B15	A25-H-B15	A26-H-B15	A27-H-B15	A28-H-B15
A29-H-B1	A30-H-B1	A31-H-B1	A32-H-B1	A33-H-B1	A34-H-B1	A35-H-B1
A29-H-B2	A30-H-B2	A31-H-B2	A32-H-B2	A33-H-B2	A34-H-B2	A35-H-B2
A29-H-B3	A30-H-B3	A31-H-B3	A32-H-B3	A33-H-B3	A34-H-B3	A35-H-B3
A29-H-B4	A30-H-B4	A31-H-B4	A32-H-B4	A33-H-B4	A34-H-B4	A35-H-B4
A29-H-B5	A30-H-B5	A31-H-B5	A32-H-B5	A33-H-B5	A34-H-B5	A35-H-B5
A29-H-B6	A30-H-B6	A31-H-B6	A32-H-B6	A33-H-B6	A34-H-B6	A35-H-B6
A29-H-B7	A30-H-B7	A31-H-B7	A32-H-B7	A33-H-B7	A34-H-B7	A35-H-B7

A29-H-B8	A30-H-B8	A31-H-B8	A32-H-B8	A33-H-B8	A34-H-B8	A35-H-B8
A29-H-B9	A30-H-B9	A31-H-B9	A32-H-B9	A33-H-B9	A34-H-B9	A35-H-B9
A29-H-B10	A30-H-B10	A31-H-B10	A32-H-B10	A33-H-B10	A34-H-B10	A35-H-B10
A29-H-B11	A30-H-B11	A31-H-B11	A32-H-B11	A33-H-B11	A34-H-B11	A35-H-B11
A29-H-B12	A30-H-B12	A31-H-B12	A32-H-B12	A33-H-B12	A34-H-B12	A35-H-B12
A29-H-B13	A30-H-B13	A31-H-B13	A32-H-B13	A33-H-B13	A34-H-B13	A35-H-B13
A29-H-B14	A30-H-B14	A31-H-B14	A32-H-B14	A33-H-B14	A34-H-B14	A35-H-B14
A29-H-B15	A30-H-B15	A31-H-B15	A32-H-B15	A33-H-B15	A34-H-B15	A35-H-B15
A36-H-B1	A37-H-B1	A38-H-B1	A39-H-B1	A40-H-B1	A41-H-B1	A42-H-B1
A36-H-B2	A37-H-B2	A38-H-B2	A39-H-B2	A40-H-B2	A41-H-B2	A42-H-B2
A36-H-B3	A37-H-B3	A38-H-B3	A39-H-B3	A40-H-B3	A41-H-B3	A42-H-B3
A36-H-B4	A37-H-B4	A38-H-B4	A39-H-B4	A40-H-B4	A41-H-B4	A42-H-B4
A36-H-B5	A37-H-B5	A38-H-B5	A39-H-B5	A40-H-B5	A41-H-B5	A42-H-B5
A36-H-B6	A37-H-B6	A38-H-B6	A39-H-B6	A40-H-B6	A41-H-B6	A42-H-B6
A36-H-B7	A37-H-B7	A38-H-B7	A39-H-B7	A40-H-B7	A41-H-B7	A42-H-B7
A36-H-B8	A37-H-B8	A38-H-B8	A39-H-B8	A40-H-B8	A41-H-B8	A42-H-B8
A36-H-B9	A37-H-B9	A38-H-B9	A39-H-B9	A40-H-B9	A41-H-B9	A42-H-B9
A36-H-B10	A37-H-B10	A38-H-B10	A39-H-B10	A40-H-B10	A41-H-B10	A42-H-B10

A36-H-B11	A37-H-B11	A38-H-B11	A39-H-B11	A40-H-B11	A41-H-B11	A42-H-B11
A36-H-B12	A37-H-B12	A38-H-B12	A39-H-B12	A40-H-B12	A41-H-B12	A42-H-B12
A36-H-B13	A37-H-B13	A38-H-B13	A39-H-B13	A40-H-B13	A41-H-B13	A42-H-B13
A36-H-B14	A37-H-B14	A38-H-B14	A39-H-B14	A40-H-B14	A41-H-B14	A42-H-B14
A36-H-B15	A37-H-B15	A38-H-B15	A39-H-B15	A40-H-B15	A41-H-B15	A42-H-B15
A43-H-B1	A44-H-B1	A45-H-B1	A46-H-B1	A47-H-B1	A48-H-B1	A49-H-B1
A43-H-B2	A44-H-B2	A45-H-B2	A46-H-B2	A47-H-B2	A48-H-B2	A49-H-B2
A43-H-B3	A44-H-B3	A45-H-B3	A46-H-B3	A47-H-B3	A48-H-B3	A49-H-B3
A43-H-B4	A44-H-B4	A45-H-B4	A46-H-B4	A47-H-B4	A48-H-B4	A49-H-B4
A43-H-B5	A44-H-B5	A45-H-B5	A46-H-B5	A47-H-B5	A48-H-B5	A49-H-B5
A43-H-B6	A44-H-B6	A45-H-B6	A46-H-B6	A47-H-B6	A48-H-B6	A49-H-B6
A43-H-B7	A44-H-B7	A45-H-B7	A46-H-B7	A47-H-B7	A48-H-B7	A49-H-B7
A43-H-B8	A44-H-B8	A45-H-B8	A46-H-B8	A47-H-B8	A48-H-B8	A49-H-B8
A43-H-B9	A44-H-B9	A45-H-B9	A46-H-B9	A47-H-B9	A48-H-B9	A49-H-B9
A43-H-B10	A44-H-B10	A45-H-B10	A46-H-B10	A47-H-B10	A48-H-B10	A49-H-B10
A43-H-B11	A44-H-B11	A45-H-B11	A46-H-B11	A47-H-B11	A48-H-B11	A49-H-B11
A43-H-B12	A44-H-B12	A45-H-B12	A46-H-B12	A47-H-B12	A48-H-B12	A49-H-B12
A43-H-B13	A44-H-B13	A45-H-B13	A46-H-B13	A47-H-B13	A48-H-B13	A49-H-B13



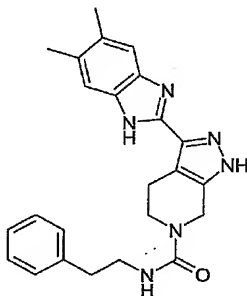
A43-H-B14	A44-H-B14	A45-H-B14	A46-H-B14	A47-H-B14	A48-H-B14	A49-H-B14
A43-H-B15	A44-H-B15	A45-H-B15	A46-H-B15	A47-H-B15	A48-H-B15	A49-H-B15
A50-H-B1	A51-H-B1	A52-H-B1	A53-H-B1	A54-H-B1	A55-H-B1	A56-H-B1
A50-H-B2	A51-H-B2	A52-H-B2	A53-H-B2	A54-H-B2	A55-H-B2	A56-H-B2
A50-H-B3	A51-H-B3	A52-H-B3	A53-H-B3	A54-H-B3	A55-H-B3	A56-H-B3
A50-H-B4	A51-H-B4	A52-H-B4	A53-H-B4	A54-H-B4	A55-H-B4	A56-H-B4
A50-H-B5	A51-H-B5	A52-H-B5	A53-H-B5	A54-H-B5	A55-H-B5	A56-H-B5
A50-H-B6	A51-H-B6	A52-H-B6	A53-H-B6	A54-H-B6	A55-H-B6	A56-H-B6
A50-H-B7	A51-H-B7	A52-H-B7	A53-H-B7	A54-H-B7	A55-H-B7	A56-H-B7
A50-H-B8	A51-H-B8	A52-H-B8	A53-H-B8	A54-H-B8	A55-H-B8	A56-H-B8
A50-H-B9	A51-H-B9	A52-H-B9	A53-H-B9	A54-H-B9	A55-H-B9	A56-H-B9
A50-H-B10	A51-H-B10	A52-H-B10	A53-H-B10	A54-H-B10	A55-H-B10	A56-H-B10
A50-H-B11	A51-H-B11	A52-H-B11	A53-H-B11	A54-H-B11	A55-H-B11	A56-H-B11
A50-H-B12	A51-H-B12	A52-H-B12	A53-H-B12	A54-H-B12	A55-H-B12	A56-H-B12
A50-H-B13	A51-H-B13	A52-H-B13	A53-H-B13	A54-H-B13	A55-H-B13	A56-H-B13
A50-H-B14	A51-H-B14	A52-H-B14	A53-H-B14	A54-H-B14	A55-H-B14	A56-H-B14
A50-H-B15	A51-H-B15	A52-H-B15	A53-H-B15	A54-H-B15	A55-H-B15	A56-H-B15
A57-H-B1	A58-H-B1	A59-H-B1	A60-H-B1	A61-H-B1	A62-H-B1	A63-H-B1

A57-H-B2	A58-H-B2	A59-H-B2	A60-H-B2	A61-H-B2	A62-H-B2	A63-H-B2
A57-H-B3	A58-H-B3	A59-H-B3	A60-H-B3	A61-H-B3	A62-H-B3	A63-H-B3
A57-H-B4	A58-H-B4	A59-H-B4	A60-H-B4	A61-H-B4	A62-H-B4	A63-H-B4
A57-H-B5	A58-H-B5	A59-H-B5	A60-H-B5	A61-H-B5	A62-H-B5	A63-H-B5
A57-H-B6	A58-H-B6	A59-H-B6	A60-H-B6	A61-H-B6	A62-H-B6	A63-H-B6
A57-H-B7	A58-H-B7	A59-H-B7	A60-H-B7	A61-H-B7	A62-H-B7	A63-H-B7
A57-H-B8	A58-H-B8	A59-H-B8	A60-H-B8	A61-H-B8	A62-H-B8	A63-H-B8
A57-H-B9	A58-H-B9	A59-H-B9	A60-H-B9	A61-H-B9	A62-H-B9	A63-H-B9
A57-H-B10	A58-H-B10	A59-H-B10	A60-H-B10	A61-H-B10	A62-H-B10	A63-H-B10
A57-H-B11	A58-H-B11	A59-H-B11	A60-H-B11	A61-H-B11	A62-H-B11	A63-H-B11
A57-H-B12	A58-H-B12	A59-H-B12	A60-H-B12	A61-H-B12	A62-H-B12	A63-H-B12
A57-H-B13	A58-H-B13	A59-H-B13	A60-H-B13	A61-H-B13	A62-H-B13	A63-H-B13
A57-H-B14	A58-H-B14	A59-H-B14	A60-H-B14	A61-H-B14	A62-H-B14	A63-H-B14
A57-H-B15	A58-H-B15	A59-H-B15	A60-H-B15	A61-H-B15	A62-H-B15	A63-H-B15
A64-H-B1	A65-H-B1	A66-H-B1	A67-H-B1	A68-H-B1	A69-H-B1	A70-H-B1
A64-H-B2	A65-H-B2	A66-H-B2	A67-H-B2	A68-H-B2	A69-H-B2	A70-H-B2
A64-H-B3	A65-H-B3	A66-H-B3	A67-H-B3	A68-H-B3	A69-H-B3	A70-H-B3
A64-H-B4	A65-H-B4	A66-H-B4	A67-H-B4	A68-H-B4	A69-H-B4	A70-H-B4

A64-H-B5	A65-H-B5	A66-H-B5	A67-H-B5	A68-H-B5	A69-H-B5	A70-H-B5
A64-H-B6	A65-H-B6	A66-H-B6	A67-H-B6	A68-H-B6	A69-H-B6	A70-H-B6
A64-H-B7	A65-H-B7	A66-H-B7	A67-H-B7	A68-H-B7	A69-H-B7	A70-H-B7
A64-H-B8	A65-H-B8	A66-H-B8	A67-H-B8	A68-H-B8	A69-H-B8	A70-H-B8
A64-H-B9	A65-H-B9	A66-H-B9	A67-H-B9	A68-H-B9	A69-H-B9	A70-H-B9
A64-H-B10	A65-H-B10	A66-H-B10	A67-H-B10	A68-H-B10	A69-H-B10	A70-H-B10
A64-H-B11	A65-H-B11	A66-H-B11	A67-H-B11	A68-H-B11	A69-H-B11	A70-H-B11
A64-H-B12	A65-H-B12	A66-H-B12	A67-H-B12	A68-H-B12	A69-H-B12	A70-H-B12
A64-H-B13	A65-H-B13	A66-H-B13	A67-H-B13	A68-H-B13	A69-H-B13	A70-H-B13
A64-H-B14	A65-H-B14	A66-H-B14	A67-H-B14	A68-H-B14	A69-H-B14	A70-H-B14
A64-H-B15	A65-H-B15	A66-H-B15	A67-H-B15	A68-H-B15	A69-H-B15	A70-H-B15

Tableau 3

**Exemple 1** : 2-phényléthylamide de l'acide 3-(5,6-diméthyl-1H-benzoimidazol-2-yl)-2,4,5,7-tétrahydro-pyrazolo[3,4-c]pyridine-6-carboxylique



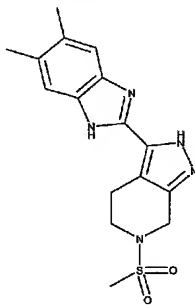
Le 2-phényléthylamide de l'acide 3-(5,6-diméthyl-1H-benzoimidazol-2-yl)-2,4,5,7-tétrahydro-pyrazolo[3,4-c]pyridine-6-carboxylique peut être préparé de la façon suivante :

- 10 10 mg de 3-(5,6-diméthyl-1H-benzimidazol-2-yl)-4,5,6,7-tétrahydro-2H-pyrazolo [3,4-c]pyridine sont mis en suspension dans 0.3 mL de tétrahydrofurane. 7.8 µL de 2-phényléthylisocyanate sont additionnés et le mélange réactionnel est agité à température ambiante pendant 20 heures puis concentré sous pression réduite.

- 10 Le résidu d'évaporation est purifié par LC/MS (Méthode B). Après purification par LC/MS, les fractions contenant le 2-phényléthylamide de l'acide 3-(5,6-diméthyl-1H-benzoimidazol-2-yl)-2,4,5,7-tétrahydro-pyrazolo[3,4-c]pyridine-6-carboxylique sont réunies et déposées sur phase SCX (500 mg de phase CUBCX1-HL). La phase SCX est ensuite lavée avec du méthanol puis extraite avec une solution d'ammoniac 2M dans le méthanol. La solution
- 15 d'extraction obtenue est alors concentrée sous pression réduite. On obtient ainsi 1.2 mg de 2-phényléthylamide de l'acide 3-(5,6-diméthyl-1H-benzoimidazol-2-yl)-2,4,5,7-tétrahydro-pyrazolo[3,4-c]pyridine-6-carboxylique sous forme de poudre blanche dont les caractéristiques sont les suivantes :

- LC/MS (Méthode A) : ion moléculaire détecté : 415.29 ; temps de rétention =
- 20 3.48 minutes

Exemple 2 : 3-(5,6-Diméthyl-1H-benzoimidazol-2-yl)-6-méthanesulfonyl-4,5,6,7-tétrahydro-2H-pyrazolo[3,4-c]pyridine



- 25 La 3-(5,6-diméthyl-1H-benzoimidazol-2-yl)-6-méthanesulfonyl-4,5,6,7-tétrahydro-2H-pyrazolo[3,4-c]pyridine peut être préparée de la façon suivante :

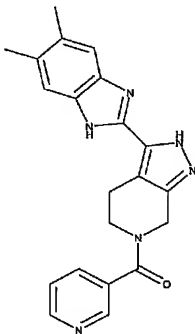
- 10 mg de 3-(5,6-diméthyl-1H-benzimidazol-2-yl)-4,5,6,7-tétrahydro-2H-pyrazolo[3,4-c]pyridine sont mis en suspension dans 0.3 mL de dichlorométhane. 15.8 µL de triéthylamine sont additionnés ainsi que 4.5 µL de chlorure de méthanesulfonyle. Le mélange réactionnel est agité à
- 5 température ambiante pendant 20 heures puis concentré sous pression réduite.

- Le résidu d'évaporation est purifié par LC/MS (Méthode B). Après purification par LC/MS, les fractions contenant la 3-(5,6-diméthyl-1H-benzoimidazol-2-yl)-6-méthanesulfonyl-4,5,6,7-tétrahydro-2H-pyrazolo[3,4-c]pyridine sont réunies
- 10 et déposées sur phase SCX (500 mg de phase CUBCX1-HL). La phase SCX est ensuite lavée avec du méthanol puis extraite avec une solution d'ammoniac 2M dans le méthanol. La solution d'extraction obtenue est alors concentrée sous pression réduite. On obtient ainsi 4.2 mg de 3-(5,6-diméthyl-1H-benzoimidazol-2-yl)-6-méthanesulfonyl-4,5,6,7-tétrahydro-2H-pyrazolo
- 15 [3,4-c]pyridine sous forme de poudre blanche dont les caractéristiques sont les suivantes :

LC/MS (Méthode A) : ion moléculaire détecté : 346.30 ; temps de rétention = 3.08 minutes

- R.M.N.  $^1\text{H}$  (300 MHz,  $(\text{CD}_3)_2\text{SO}$ ,  $\delta$  en ppm) : 2,32 (s large : 6H) ; 3,02 (s : 3H) ; 3,03 (mt : 2H) ; 3,52 (t large,  $J = 5 \text{ Hz}$  : 2H) ; 4,45 (s large : 2H) ; 7,24 (s large : 1H) ; 7,42 (s large : 1H) ; 12,45 (mf : 1H) ; 13,07 (mf : 1H).
- 20

Exemple 3 : [3-(5,6-Diméthyl-1H-benzoimidazol-2-yl)-2,4,5,7-tétrahydro-pyrazolo[3,4-c]pyridin-6-yl]-3-pyridinyl-méthanone



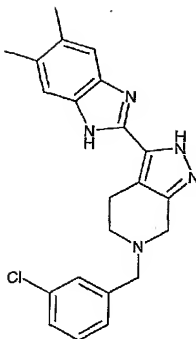
La [3-(5,6-diméthyl-1H-benzoimidazol-2-yl)-2,4,5,7-tétrahydro-pyrazolo[3,4-c]pyridin-6-yl]-3-pyridinyl-méthanone peut être préparée de la façon suivante : 10 mg de 3-(5,6-diméthyl-1H-benzimidazol-2-yl)-4,5,6,7-tétrahydro-2H-pyrazolo[3,4-c]pyridine sont mis en suspension dans 0.3 mL de DMF. 6.9 mg d'acide nicotinique sont additionnés, suivis de 7.6 mg de HOBT et 8.7 µL de diisopropylcarbodiimide. Le mélange réactionnel est agité à température ambiante pendant 20 heures puis concentré sous pression réduite.

Le résidu d'évaporation est purifié par LC/MS (Méthode B). Après purification par LC/MS, les fractions contenant la [3-(5,6-diméthyl-1H-benzoimidazol-2-yl)-2,4,5,7-tétrahydro-pyrazolo[3,4-c]pyridin-6-yl]-3-pyridinyl-méthanone sont réunies et déposées sur phase SCX (500 mg de phase CUBCX1-HL). La phase SCX est ensuite lavée avec du méthanol puis extraite avec une solution d'ammoniac 2M dans le méthanol. La solution d'extraction obtenue est alors concentrée sous pression réduite. On obtient ainsi 5.3 mg de [3-(5,6-diméthyl-1H-benzoimidazol-2-yl)-2,4,5,7-tétrahydro-pyrazolo[3,4-c]pyridin-6-yl]-3-pyridinyl-méthanone sous forme de poudre blanche dont les caractéristiques sont les suivantes :

LC/MS (Méthode A) : ion moléculaire détecté : 373.31 ; temps de rétention = 2.87 minutes

20 R.M.N.  $^1\text{H}$  (400 MHz,  $(\text{CD}_3)_2\text{SO}$ , à une température de 373K,  $\delta$  en ppm) : 2,35 (s : 6H) ; de 2,90 à 3,10 (mt : 2H) ; 3,76 (mf : 2H) ; 4,76 (s large : 2H) ; 7,27 (mf : 1H) ; 7,40 (mf : 1H) ; 7,51 (dd, J = 8 et 5 Hz : 1H) ; 7,90 (d large, J = 8 Hz : 1H) ; 8,70 (mt : 2H) ; de 11,80 à 12,20 (mf étalé : 1H) ; de 12,50 à 13,00 (mf étalé : 1H).

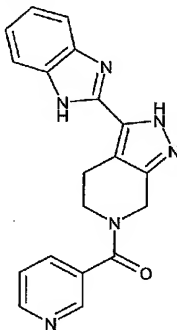
25 Exemple 4 : 6-(3-Chloro-benzyl)-3-(5,6-diméthyl-1H-benzoimidazol-2-yl)-4,5,6,7-tétrahydro-2H-pyrazolo[3,4-c]pyridine



La 6-(3-chloro-benzyl)-3-(5,6-diméthyl-1H-benzimidazol-2-yl)-4,5,6,7-tétrahydro-2H-pyrazolo[3,4-c]pyridine peut être préparée de la façon suivante :

- 5 10 mg de 3-(5,6-diméthyl-1H-benzimidazol-2-yl)-4,5,6,7-tétrahydro-2H-pyrazolo[3,4-c]pyridine sont mis en suspension dans 0.3 mL de méthanol. 12.7  $\mu$ L de 3-chlorobenzaldéhyde sont additionnés, suivis de 4.7 mg de  $\text{NaBH}_3\text{CN}$ . Le mélange réactionnel est agité à température ambiante pendant 20 heures puis concentré sous pression réduite.
- 10 Le résidu d'évaporation est purifié par LC/MS (Méthode B). Après purification par LC/MS, les fractions contenant la 6-(3-chloro-benzyl)-3-(5,6-diméthyl-1H-benzimidazol-2-yl)-4,5,6,7-tétrahydro-2H-pyrazolo[3,4-c]pyridine sont réunies et déposées sur phase SCX (500 mg de phase CUBCX1-HL). La phase SCX est ensuite lavée avec du méthanol puis extraite avec une
- 15 solution d'ammoniac 2M dans le méthanol. La solution d'extraction obtenue est alors concentrée sous pression réduite. On obtient ainsi 4 mg de 6-(3-chloro-benzyl)-3-(5,6-diméthyl-1H-benzimidazol-2-yl)-4,5,6,7-tétrahydro-2H-pyrazolo[3,4-c]pyridine sous forme de poudre blanche dont les caractéristiques sont les suivantes :
- 20 LC/MS (Méthode A) : ion moléculaire détecté : 392.26 ; temps de rétention = 3.18 minutes
- R.M.N.  $^1\text{H}$  (400 MHz,  $(\text{CD}_3)_2\text{SO}$ , à une température de 373K,  $\delta$  en ppm) : 2,35 et 2,36 (2 s : 6H en totalité) ; 2,83 (t, J = 5,5 Hz : 2H) ; de 2,90 à 3,00 (mt : 2H) ; 3,62 (s large : 2H) ; 3,78 (s : 2H) ; de 7,25 à 7,50 (mt : 6H) ; 11,91
- 25 (mf : 1H) ; de 12,30 à 12,60 (mf étalé : 1H).

**Exemple 5 :** [3-(1H-benzoimidazol-2-yl)-2,4,5,7-tétrahydro-pyrazolo[3,4-c]pyridin-6-yl]-3-pyridinyl-méthanone

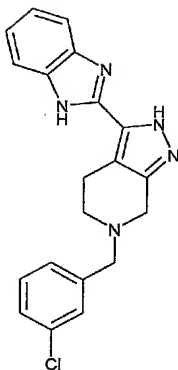


- La [3-(1H-benzoimidazol-2-yl)-2,4,5,7-tétrahydro-pyrazolo[3,4-c]pyridin-6-yl]-3-pyridinyl-méthanone peut être préparée de la façon suivante :
- 15 15 mg de chlorhydrate de la 3-(1H-benzimidazol-2-yl)-4,5,6,7-tétrahydro-2H-pyrazolo[3,4-c]pyridine sont mis en suspension dans 0.5 mL de DMF. 24.3 mg de diisopropyléthylamine sont additionnés, suivis de 12.7 mg de HOBT, 11.9 mg de diisopropylcarbodiimide et de 11.6 mg d'acide nicotinique.
- 10 Le mélange réactionnel est agité à température ambiante pendant 20 heures puis concentré sous pression réduite.
- Le résidu d'évaporation est purifié par LC/MS (Méthode B). Après purification par LC/MS, les fractions contenant la [3-(1H-benzoimidazol-2-yl)-2,4,5,7-tétrahydro-pyrazolo[3,4-c]pyridin-6-yl]-3-pyridinyl-méthanone sont réunies et déposées sur phase SCX (500 mg de phase CUBCX1-HL). La phase SCX
- 15 est ensuite lavée avec du méthanol puis extraite avec une solution d'ammoniac 2M dans le méthanol. La solution d'extraction obtenue est alors concentrée sous pression réduite. On obtient ainsi 7.7 mg de [3-(1H-benzoimidazol-2-yl)-2,4,5,7-tétrahydro-pyrazolo[3,4-c]pyridin-6-yl]-3-pyridinyl-méthanone sous forme de poudre blanche dont les caractéristiques sont les suivantes :
- 20

LC/MS (Méthode A) : ion moléculaire détecté : 345.22 ; temps de rétention = 1.95 minutes

- Exemple 6 :** 6-(3-Chloro-benzyl)-3-(1H-benzoimidazol-2-yl)-4,5,6,7-tétrahydro-2H-pyrazolo[3,4-c]pyridine
- 25



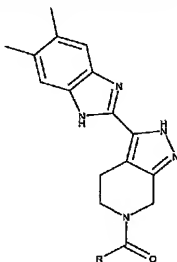


La 6-(3-chloro-benzyl)-3-(1H-benzoimidazol-2-yl)-4,5,6,7-tétrahydro-2H-pyrazolo[3,4-c]pyridine peut être préparée de la façon suivante :

- 5 15 mg de chlorhydrate de la 3-(1H-benzimidazol-2-yl)-4,5,6,7-tétrahydro-2H-pyrazolo[3,4-c]pyridine sont mis en suspension dans 0.5 mL de méthanol. 26.5 mg de 3-chlorobenzaldéhyde sont additionnés, suivis de 7.9 mg de  $\text{NaBH}_3\text{CN}$ . Le mélange réactionnel est agité à température ambiante pendant 20 heures puis concentré sous pression réduite.

- Le résidu d'évaporation est purifié par LC/MS (Méthode B). Après purification  
10 par LC/MS, les fractions contenant la 6-(3-chloro-benzyl)-3-(1H-benzoimidazol-2-yl)-4,5,6,7-tétrahydro-2H-pyrazolo[3,4-c]pyridine sont réunies et déposées sur phase SCX (500 mg de phase CUBCX1-HL). La phase SCX est ensuite lavée avec du méthanol puis extraite avec une solution d'ammoniac 2M dans le méthanol. La solution d'extraction obtenue  
15 est alors concentrée sous pression réduite. On obtient ainsi 6.9 mg de 6-(3-chloro-benzyl)-3-(1H-benzoimidazol-2-yl)-4,5,6,7-tétrahydro-2H-pyrazolo[3,4-c]pyridine sous forme de poudre blanche dont les caractéristiques sont les suivantes :

- LC/MS (Méthode A) : ion moléculaire détecté : 364.22 ; temps de rétention =  
20 2.19 minutes

Exemple 7 : Préparation d'une librairie d'amide

La librairie d'amides peut être préparée de la façon suivante :

Les 19 acides (tableau 4) sont pesés et placés dans 19 tubes à essais individuels.

5

Tableau 4 : acides utilisés

Entrée	Nom	Quantité
1	ACIDE ISOBUTYRIQUE	3.3 mg
2	ACIDE BENZOIQUE	4.6 mg
3	ACIDE 2,3-DICHLOROBENZOIQUE	7.1 mg
4	ACIDE PHENYLACETIQUE	5.1 mg
5	ACIDE ACETIQUE	2.2 mg
6	ACIDE CYCLOPROPANECARBOXYLIQUE	3.2 mg
7	ACIDE 2-CHLOROBENZOIQUE	5.9 mg
8	ACIDE 3-CHLOROBENZOIQUE	5.9 mg
9	ACIDE 4-CHLOROBENZOIQUE	5.9 mg
10	ACIDE ISOVALERIQUE	3.8 mg
11	ACIDE HYDROCINNAMIQUE	5.6 mg
12	ACIDE VINYLACETIQUE	3.2 mg
13	ACIDE BUTYRIQUE	3.3 mg
14	ACIDE 2-FUROIQUE	4.2 mg
15	ACIDE PIVALIQUE	3.8 mg

16	N,N-DIMETHYLGLYCINE	3.9 mg
17	ACIDE VALERIQUE	3.8 mg
18	ACIDE THIOPHENE-2-CARBOXYLIQUE	4.8 mg
19	ACIDE 4-METHYLSULFONYLBENZOIQUE	7.5 mg

152 mg de HOBt et 142 mg de diisopropylcarbodiimide sont placés en solution dans 12 mL de DMF et la solution obtenue est distribuée dans chacun des 19 tubes à essais, à raison de 600 µL par tube.

200 mg de chlorhydrate de la 3-(5,6-diméthyl-1H-benzimidazol-2-yl)-4,5,6,7-tétrahydro-2H-pyrazolo[3,4-c]pyridine sont mis en suspension dans 4 mL de DMF en présence de 290 mg de N,N-diisopropyléthylamine et la suspension obtenue est distribuée dans chacun des 19 tubes à essais, à raison de 200 µL par tube.

Les 19 mélanges réactionnels sont agités par agitation orbitale à température ambiante pendant 20 heures.

Pour chaque mélange réactionnel, un prélèvement de 10 µL est effectué et dilué dans 40 µL de DMSO (Gilson Liquid Handler Quad-Z 215). Chaque échantillon en solution dans le DMSO ainsi obtenu, est analysé par LC/MS (Méthode A).

Les 19 mélanges réactionnels sont ensuite évaporés à sec et les résidus d'évaporation sont placés en solution dans 500 µL de DMSO chacun, puis les solutions obtenues sont purifiées par LC/MS (Méthode B).

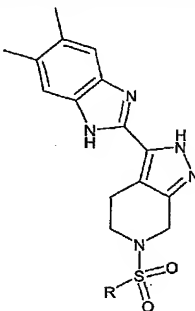
Après purification par LC/MS, les fractions contenant les composés recherchés sont (éventuellement réunies) déposées sur phase SCX (500 mg de phase CUBCX1-HL). Les phases SCX sont ensuite lavées avec du méthanol puis extraites avec une solution d'ammoniac 2M dans le méthanol. Les solutions d'extraction sont collectées en tubes de verre tarés, évaporées à sec (évaporateur centrifuge Savant AES 2000 ou Genevac HT8), pesées (Mettler Toledo Automated Workstation LA200) et diluées à 10 mM dans le DMSO (Gilson Liquid Handler Quad-Z 215). Chaque solution obtenue est analysée par LC/MS (Méthode A).

Les composés suivants (Tableau 5), ont été isolés et caractérisés par leur temps de rétention et pic moléculaire en Spectrométrie de Masse (Méthode A).

Tableau 5 : librairie d'amides obtenue

Entrée	Nom	Quantité de produit obtenue	Temps de rétention (minutes)	Ion moléculaire détecté
1	1-[3-(5,6-Diméthyl-1H-benzoimidazol-2-yl)-2,4,5,7-tétrahydro-pyrazolo[3,4-c]pyridin-6-yl]-2-méthyl-propan-1-one	5.8 mg	3.08	338.23
2	[3-(5,6-Diméthyl-1H-benzoimidazol-2-yl)-2,4,5,7-tétrahydro-pyrazolo[3,4-c]pyridin-6-yl]-phényl-méthanone	6.8 mg	2.68	372.21
3	(2,3-Dichloro-phényl)-[3-(5,6-diméthyl-1H-benzoimidazol-2-yl)-2,4,5,7-tétrahydro-pyrazolo[3,4-c]pyridin-6-yl]-méthanone	12 mg	3.05	440.13
4	1-[3-(5,6-Diméthyl-1H-benzoimidazol-2-yl)-2,4,5,7-tétrahydro-pyrazolo[3,4-c]pyridin-6-yl]-2-phényl-éthanone	7.9 mg	2.99	386.23
5	1-[3-(5,6-Diméthyl-1H-benzoimidazol-2-yl)-2,4,5,7-tétrahydro-pyrazolo[3,4-c]pyridin-6-yl]-éthanone	2.7 mg	2.4	310.19
6	Cyclopropyl-[3-(5,6-diméthyl-1H-benzoimidazol-2-yl)-2,4,5,7-tétrahydro-pyrazolo[3,4-c]pyridin-6-yl]-méthanone	3.4 mg	2.57	336.21
7	(2-Chloro-phényl)-[3-(5,6-diméthyl-1H-benzoimidazol-2-yl)-2,4,5,7-tétrahydro-pyrazolo[3,4-c]pyridin-6-yl]-méthanone	11.2 mg	2.97	406.18
8	(3-Chloro-phényl)-[3-(5,6-diméthyl-1H-benzoimidazol-2-yl)-2,4,5,7-tétrahydro-pyrazolo[3,4-c]pyridin-6-yl]-méthanone	12.1 mg	3.31	406.16
9	(4-Chloro-phényl)-[3-(5,6-diméthyl-1H-benzoimidazol-2-yl)-2,4,5,7-tétrahydro-pyrazolo[3,4-c]pyridin-6-yl]-méthanone	11.5 mg	3.51	406.17
10	1-[3-(5,6-Diméthyl-1H-benzoimidazol-2-yl)-2,4,5,7-tétrahydro-pyrazolo[3,4-c]pyridin-6-yl]-3-méthyl-butan-1-one	4.8 mg	2.72	352.24

11	1-[3-(5,6-Diméthyl-1H-benzoimidazol-2-yl)-2,4,5,7-tétrahydro-pyrazolo[3,4-c]pyridin-6-yl]-3-phényl-propan-1-one	11.9 mg	2.95	400.24
12	1-[3-(5,6-Diméthyl-1H-benzoimidazol-2-yl)-2,4,5,7-tétrahydro-pyrazolo[3,4-c]pyridin-6-yl]-but-3-en-1-one	10.1 mg	2.72	336.22
13	1-[3-(5,6-Diméthyl-1H-benzoimidazol-2-yl)-2,4,5,7-tétrahydro-pyrazolo[3,4-c]pyridin-6-yl]-butan-1-one	7 mg	2.66	338.23
14	[3-(5,6-Diméthyl-1H-benzoimidazol-2-yl)-2,4,5,7-tétrahydro-pyrazolo[3,4-c]pyridin-6-yl]-furan-2-yl-méthanone	9.5 mg	2.67	362.19
15	1-[3-(5,6-Diméthyl-1H-benzoimidazol-2-yl)-2,4,5,7-tétrahydro-pyrazolo[3,4-c]pyridin-6-yl]-2,2-diméthyl-propan-1-one	9.3 mg	2.8	352.24
16	2-Diméthylamino-1-[3-(5,6-diméthyl-1H-benzoimidazol-2-yl)-2,4,5,7-tétrahydro-pyrazolo[3,4-c]pyridin-6-yl]-éthanone	4.7 mg	2.55	353.23
17	1-[3-(5,6-Diméthyl-1H-benzoimidazol-2-yl)-2,4,5,7-tétrahydro-pyrazolo[3,4-c]pyridin-6-yl]-pentan-1-one	5.4 mg	2.78	352.24
18	[3-(5,6-Diméthyl-1H-benzoimidazol-2-yl)-2,4,5,7-tétrahydro-pyrazolo[3,4-c]pyridin-6-yl]-thiophen-2-yl-méthanone	7.2 mg	2.75	378.17
19	[3-(5,6-Diméthyl-1H-benzoimidazol-2-yl)-2,4,5,7-tétrahydro-pyrazolo[3,4-c]pyridin-6-yl]-(4-méthanesulfonyl-phényl)-méthanone	14.3 mg	2.79	450.19

**Exemple 8** : Préparation d'une librairie de sulfonamides

La librairie de sulfonamides peut être préparée de la façon suivante :

- 5 190 mg de chlorhydrate de la 3-(5,6-diméthyl-1H-benzimidazol-2-yl)-4,5,6,7-tétrahydro-2H-pyrazolo[3,4-c]pyridine sont mis en suspension dans 2 mL de dichlorométhane en présence de 150  $\mu$ L de triéthylamine et la suspension obtenue est distribuée dans 17 tubes à essais, à raison de 500  $\mu$ L par tube. Les 17 chlorures de sulfonyles (tableau 6) sont pesés et additionnés dans chacun des 17 tubes à essais.

10 Tableau 6 : Chlorures de sulfonyle utilisés

Entrée	Nom	Quantité
1	CHLORURE DE BENZENESULFONYLE	9.9 mg
2	CHLORURE DE ALPHA-TOLUENESULFONYLE	10.7 mg
3	CHLORURE DE 2,3-DICHLOROBENZENESULFONYLE	13.8 mg
4	CHLORURE DE 4-CHLOROBENZENESULFONYLE	11.9 mg
5	CHLORURE DE 2,2,2-TRIFLUOROETHANESULFONYLE	10.2 mg
6	CHLORURE DE ETHANESULFONYLE	7.2 mg
7	CHLORURE DE 1-PROPANESULFONYLE	8 mg
8	CHLORURE DE 1-BUTANESULFONYLE	8.8 mg
9	CHLORURE DE 2-CHLOROBENZENESULFONYLE	11.9 mg
10	CHLORURE DE 3-CHLOROBENZENESULFONYLE	11.9 mg

11	CHLORURE DE [(4-FLUOROPHENYL)METHYL]SULFONYLE	11.7 mg
12	CHLORURE DE 4-METHOXYBENZENESULFONYLE	11.6 mg
13	CHLORURE DE P-TOLUENESULFONYLE	10.7 mg
14	CHLORURE DE O-TOLUENESULFONYLE	10.7 mg
15	CHLORURE DE 3-METHYLBENZENESULFONYLE	10.7 mg
16	CHLORURE DE 3-METHOXYBENZENESULPHONYLE	11.6 mg
17	CHLORURE DE 2-METHOXY-4-METHYLBENZENESULPHONYLE	12.4 mg

Les 17 mélanges réactionnels sont agités par agitation orbitale à température ambiante pendant 20h.

- Pour chaque mélange réactionnel, un prélèvement de 10 µL est effectué et dilué dans 40 µL de DMSO (Gilson Liquid Handler Quad-Z 215). Chaque échantillon en solution dans le DMSO ainsi obtenu, est analysé par LC/MS (Méthode A).

- Les 17 mélanges réactionnels sont ensuite évaporés à sec et les résidus d'évaporation sont placés en solution dans 1 mL de DMSO chacun en présence d'une goutte d'une solution aqueuse d'acide chlorhydrique 5N et les solutions obtenues sont purifiées par LC/MS (Méthode B). Après purification par LC/MS, les fractions contenant les composés recherchés sont (éventuellement réunies) déposées sur phase SCX (500 mg de phase CUBCX1-HL). Les phases SCX sont ensuite lavées avec du méthanol puis extraites avec une solution d'ammoniac 2M dans le méthanol. Les solutions d'extraction sont collectées en tubes de verre tarés, évaporées à sec (évaporateur centrifuge Savant AES 2000 ou Genevac HT8), pesées (Mettler Toledo Automated Workstation LA200) et diluées à 10 mM dans le DMSO (Gilson Liquid Handler Quad-Z 215). Chaque solution obtenue est analysée par LC/MS (Méthode A).
- Les composés suivants (Tableau 7), ont été isolés et caractérisés par leur temps de rétention et pic moléculaire en Spectrométrie de Masse (Méthode A).

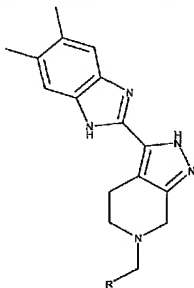
Tableau 7 : librairie de sulfonamides obtenue

Entrée	Nom	Quantité de produit obtenue	Temps de rétention (minutes)	Ion moléculaire détecté
1	6-Benzenesulfonyl-3-(5,6-diméthyl-1H-benzimidazol-2-yl)-4,5,6,7-tétrahydro-2H-pyrazolo[3,4-c]pyridine	1.4 mg	3.41	408.18
2	3-(5,6-Diméthyl-1H-benzimidazol-2-yl)-6-phénylméthanesulfonyl-4,5,6,7-tétrahydro-2H-pyrazolo[3,4-c]pyridine	0.7 mg	3.51	422.2
3	6-(2,3-Dichloro-benzenesulfonyl)-3-(5,6-diméthyl-1H-benzimidazol-2-yl)-4,5,6,7-tétrahydro-2H-pyrazolo[3,4-c]pyridine	6.4 mg	3.25	476.1
4	6-(4-Chloro-benzenesulfonyl)-3-(5,6-diméthyl-1H-benzimidazol-2-yl)-4,5,6,7-tétrahydro-2H-pyrazolo[3,4-c]pyridine	5.9 mg	3.19	442.12
5	3-(5,6-Diméthyl-1H-benzimidazol-2-yl)-6-(2,2,2-trifluoro-éthanesulfonyl)-4,5,6,7-tétrahydro-2H-pyrazolo[3,4-c]pyridine	1.7 mg	3.06	414.14
6	3-(5,6-Diméthyl-1H-benzimidazol-2-yl)-6-éthanesulfonyl-4,5,6,7-tétrahydro-2H-pyrazolo[3,4-c]pyridine	5.2 mg	2.63	360.17
7	3-(5,6-Diméthyl-1H-benzimidazol-2-yl)-6-(propane-1-sulfonyl)-4,5,6,7-tétrahydro-2H-pyrazolo[3,4-c]pyridine	4.3 mg	2.8	374.19
8	6-(Butane-1-sulfonyl)-3-(5,6-diméthyl-1H-benzimidazol-2-yl)-4,5,6,7-tétrahydro-2H-pyrazolo[3,4-c]pyridine	5.6 mg	2.94	388.2
9	6-(2-Chloro-benzenesulfonyl)-3-(5,6-diméthyl-1H-benzimidazol-2-yl)-4,5,6,7-tétrahydro-2H-pyrazolo[3,4-c]pyridine	5.6 mg	3.38	442.13
10	6-(3-Chloro-benzenesulfonyl)-3-(5,6-diméthyl-1H-benzimidazol-2-yl)-4,5,6,7-tétrahydro-2H-pyrazolo[3,4-c]pyridine	6.9 mg	3.71	442.13
11	3-(5,6-Diméthyl-1H-benzimidazol-2-yl)-6-(4-fluoro-phénylméthanesulfonyl)-4,5,6,7-tétrahydro-2H-pyrazolo[3,4-c]pyridine	0.7 mg	3.05	440.18
12	3-(5,6-Diméthyl-1H-benzimidazol-2-yl)-6-(4-methoxy-benzenesulfonyl)-4,5,6,7-tétrahydro-2H-pyrazolo[3,4-c]pyridine	7.5 mg	2.99	438.19



13	3-(5,6-Diméthyl-1H-benzoimidazol-2-yl)-6-(toluene-4-sulfonyl)-4,5,6,7-tétrahydro-2H-pyrazolo[3,4-c]pyridine	7.3 mg	3.22	422.2
14	3-(5,6-Diméthyl-1H-benzoimidazol-2-yl)-6-(toluene-2-sulfonyl)-4,5,6,7-tétrahydro-2H-pyrazolo[3,4-c]pyridine	4.8 mg	3.16	422.19
15	3-(5,6-Diméthyl-1H-benzoimidazol-2-yl)-6-(toluene-3-sulfonyl)-4,5,6,7-tétrahydro-2H-pyrazolo[3,4-c]pyridine	5.1 mg	3.13	422.19
16	3-(5,6-Diméthyl-1H-benzoimidazol-2-yl)-6-(3-methoxy-benzenesulfonyl)-4,5,6,7-tétrahydro-2H-pyrazolo[3,4-c]pyridine	6.9 mg	3.07	438.18
17	3-(5,6-Diméthyl-1H-benzoimidazol-2-yl)-6-(2-methoxy-4-méthyl-benzenesulfonyl)-4,5,6,7-tétrahydro-2H-pyrazolo[3,4-c]pyridine	0.8 mg	3.34	452.19

**Exemple 9 : Préparation d'une librairie d'amines**



La librairie d'amines peut être préparée de la façon suivante :

- 180 mg de chlorhydrate de la 3-(5,6-diméthyl-1H-benzimidazol-2-yl)-4,5,6,7-tétrahydro-2H-pyrazolo[3,4-c]pyridine sont mis en suspension dans 2.7 mL de méthanol et la suspension obtenue est distribuée dans 16 tubes à essais, à raison de 150 µL par tube.

Les 16 aldéhydes (tableau 8) sont pesés et additionnés dans chacun des 16 tubes à essais.

Tableau 8 : Aldéhydes utilisés

Entrée	Nom	Quantité
1	ISOBUTYRALDEHYDE	8.1 mg
2	FORMALDEHYDE	3.4 mg
3	BENZALDEHYDE	11.9 mg
4	PHENYLACETALDEHYDE	13.5 mg
5	2,3-DICHLOROBENZALDEHYDE	19.6 mg
6	FURFURAL	10.8 mg
7	4-CHLOROBENZALDEHYDE	15.8 mg
8	2-THIOPHENECARBOXALDEHYDE	12.6 mg
9	NICOTINALDEHYDE	12 mg
10	TRIMETHYLACETALDEHYDE	9.7 mg
11	ACETALDEHYDE	4.9 mg
12	ISOVALERALDEHYDE	9.7 mg
13	PROPIONALDEHYDE	6.5 mg
14	3-PHENYLPROPIONALDEHYDE	15.1 mg
15	BUTYRALDEHYDE	8.1 mg
16	CYCLOPROPANECARBOXALDEHYDE	7.9 mg

Une solution de 85 mg de  $\text{NaBH}_3\text{CN}$  dans 2.7 mL de méthanol est alors également distribuée dans les 16 tubes à essais, à raison de 150  $\mu\text{L}$  par tube. Les 16 mélanges réactionnels sont agités par agitation orbitale à température ambiante pendant 20h. 100  $\mu\text{L}$  de méthanol sont alors ajoutés dans chacun des 16 tubes.

Pour chaque mélange réactionnel, un prélèvement de 10  $\mu\text{L}$  est effectué et dilué dans 40  $\mu\text{L}$  de DMSO (Gilson Liquid Handler Quad-Z 215). Chaque échantillon en solution dans le DMSO ainsi obtenu, est analysé par LC/MS (Méthode A).

Les 16 mélanges réactionnels sont ensuite évaporés à sec et les résidus d'évaporation sont placés en solution dans 500  $\mu\text{L}$  de DMSO chacun, filtrés sur fritté, puis les solutions résiduelles sont purifiées par LC/MS (Méthode B). Après purification par LC/MS, les fractions contenant les composés recherchés sont (éventuellement réunies) déposées sur phase SCX (500 mg de phase

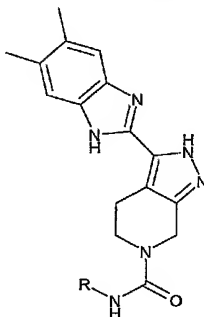
CUBCX1-HL). Les phases SCX sont ensuite lavées avec du méthanol puis extraites avec une solution d'ammoniac 2M dans le méthanol. Les solutions d'extraction sont collectées en tubes de verre tarés, évaporées à sec (évaporateur centrifuge Savant AES 2000 ou Genevac HT8), pesées (Mettler Toledo Automated Workstation LA200) et diluées à 10 mM dans le DMSO (Gilson Liquid Handler Quad-Z 215). Chaque solution obtenue est analysée par LC/MS (Méthode A).

Les composés suivants (Tableau 9), ont été isolés et caractérisés par leur temps de rétention et pic moléculaire en Spectrométrie de Masse (Méthode A).

Tableau 9 : librairie d'amines obtenue

Entrée	Nom	Quantité de produit obtenue	Temps de rétention (minutes)	Ion moléculaire détecté
1	3-(5,6-Diméthyl-1H-benzoimidazol-2-yl)-6-isobutyl-4,5,6,7-tétrahydro-2H-pyrazolo[3,4-c]pyridine	5.9 mg	2.62	324.32
2	3-(5,6-Diméthyl-1H-benzoimidazol-2-yl)-6-méthyl-4,5,6,7-tétrahydro-2H-pyrazolo[3,4-c]pyridine	3.5 mg	2.49	282.29
3	6-Benzyl-3-(5,6-diméthyl-1H-benzoimidazol-2-yl)-4,5,6,7-tétrahydro-2H-pyrazolo[3,4-c]pyridine	8.2 mg	2.74	358.3
4	3-(5,6-Diméthyl-1H-benzoimidazol-2-yl)-6-phenéthyl-4,5,6,7-tétrahydro-2H-pyrazolo[3,4-c]pyridine	6.4 mg	2.84	372.32
5	6-(2,3-Dichloro-benzyl)-3-(5,6-diméthyl-1H-benzoimidazol-2-yl)-4,5,6,7-tétrahydro-2H-pyrazolo[3,4-c]pyridine	8.6 mg	2.95	426.23
6	3-(5,6-Diméthyl-1H-benzoimidazol-2-yl)-6-furan-2-ylméthyl-4,5,6,7-tétrahydro-2H-pyrazolo[3,4-c]pyridine	5.9 mg	2.64	348.27
7	6-(4-Chloro-benzyl)-3-(5,6-diméthyl-1H-benzoimidazol-2-yl)-4,5,6,7-tétrahydro-2H-pyrazolo[3,4-c]pyridine	4.7 mg	2.9	392.26

8	3-(5,6-Diméthyl-1H-benzoimidazol-2-yl)-6-thiophen-2-ylméthyl-4,5,6,7-tétrahydro-2H-pyrazolo[3,4-c]pyridine	8.4 mg	2.71	364.24
9	3-(5,6-Diméthyl-1H-benzoimidazol-2-yl)-6-pyridin-3-ylméthyl-4,5,6,7-tétrahydro-2H-pyrazolo[3,4-c]pyridine	11.7 mg	2.55	359.29
10	3-(5,6-Diméthyl-1H-benzoimidazol-2-yl)-6-(2,2-diméthyl-propyl)-4,5,6,7-tétrahydro-2H-pyrazolo[3,4-c]pyridine	3.7 mg	2.72	338.32
11	3-(5,6-Diméthyl-1H-benzoimidazol-2-yl)-6-éthyl-4,5,6,7-tétrahydro-2H-pyrazolo[3,4-c]pyridine	5 mg	2.55	296.27
12	3-(5,6-Diméthyl-1H-benzoimidazol-2-yl)-6-(3-méthyl-butyl)-4,5,6,7-tétrahydro-2H-pyrazolo[3,4-c]pyridine	5.9 mg	2.76	338.3
13	3-(5,6-Diméthyl-1H-benzoimidazol-2-yl)-6-propyl-4,5,6,7-tétrahydro-2H-pyrazolo[3,4-c]pyridine	6.4 mg	2.62	310.29
14	3-(5,6-Diméthyl-1H-benzoimidazol-2-yl)-6-(3-phényl-propyl)-4,5,6,7-tétrahydro-2H-pyrazolo[3,4-c]pyridine	4.2 mg	2.97	386.31
15	6-Butyl-3-(5,6-diméthyl-1H-benzoimidazol-2-yl)-4,5,6,7-tétrahydro-2H-pyrazolo[3,4-c]pyridine	4.5 mg	2.68	324.28
16	6-Cyclopropylméthyl-3-(5,6-diméthyl-1H-benzoimidazol-2-yl)-4,5,6,7-tétrahydro-2H-pyrazolo[3,4-c]pyridine	3.9 mg	2.62	322.27

Exemple 10 : Préparation d'une librairie d'urées

La librairie d'urées peut être préparée de la façon suivante :

- 5 120 mg de chlorhydrate de la 3-(5,6-diméthyl-1H-benzimidazol-2-yl)-4,5,6,7-tétrahydro-2H-pyrazolo[3,4-c]pyridine sont mis en suspension dans 3.6 mL de tétrahydrofurane en présence de 190  $\mu$ L de triéthylamine et la suspension obtenue est distribuée dans chacun des 9 tubes à essais, à raison de 300  $\mu$ L par tube.

- 10 Les 9 isocyanates (tableau 10) sont pesés et additionnés dans chacun des 9 tubes à essais.

Tableau 10 : Isocyanates utilisés

Entrée	Nom	Quantité
1	PHENYL ISOCYANATE	6.7 mg
2	BENZYL ISOCYANATE	7.5 mg
3	2-CHLOROPHENYL ISOCYANATE	8.6 mg
4	3-CHLOROPHENYL ISOCYANATE	8.6 mg
5	4-CHLOROPHENYL ISOCYANATE	8.6 mg
6	N-BUTYL ISOCYANATE	5.6 mg
7	2-THIENYL ISOCYANATE	7 mg
8	2-METHOXYPHENYL ISOCYANATE	8.4 mg
9	O-TOLYL ISOCYANATE	7.5 mg

Les 9 mélanges réactionnels sont agités par agitation orbitale à température ambiante pendant 2 heures puis évaporés à sec.

Les résidus d'évaporation sont placés en solution dans 1 mL de DMSO chacun et pour chaque solution obtenue, un prélèvement de 10 µL est effectué et dilué dans 40 µL de DMSO (Gilson Liquid Handler Quad-Z 215).  
5 Chaque échantillon en solution dans le DMSO ainsi obtenu, est analysé par LC/MS (Méthode A).

Les solutions résiduelles sont purifiées par LC/MS (Méthode B). Après purification par LC/MS, les fractions contenant les composés recherchés sont  
10 (éventuellement réunies) soit évaporées à sec (entrées 1, 3, 6, 8, 9), soit déposées sur phase SCX (500 mg de phase CUBCX1-HL ; entrées 2, 4, 5, 7). Les phases SCX sont ensuite lavées avec du méthanol puis extraites avec une solution d'ammoniac 2M dans le méthanol. Les solutions d'extraction  
15 sont collectées en tubes de verre tarés, évaporées à sec (évaporateur centrifuge Savant AES 2000 ou Genevac HT8), pesées (Mettler Toledo Automated Workstation LA200) et diluées à 10 mM dans le DMSO (Gilson Liquid Handler Quad-Z 215). Chaque solution obtenue est analysée par LC/MS (Méthode A).

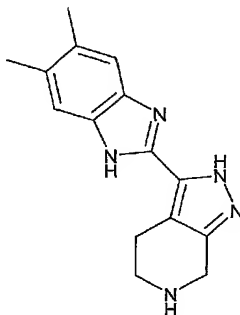
Les composés suivants (Tableau 11), ont été isolés et caractérisés par leur  
20 temps de rétention et pic moléculaire en Spectrométrie de Masse (Méthode A).

Tableau 11 : librairie d'urées obtenue

Entrée	Nom	Quantité de produit obtenue	Temps de rétention (minutes)	Ion moléculaire détecté
1	bis-trifluoroacétate du phénylamide de l'acide3-(5,6-diméthyl-1H-benzoimidazol-2-yl)-2,4,5,7-tétrahydro-pyrazolo[3,4-c]pyridine-6-carboxylique	14.6 mg	3.04	387.28
2	benzylamide de l'acide3-(5,6-diméthyl-1H-benzoimidazol-2-yl)-2,4,5,7-tétrahydro-pyrazolo[3,4-c]pyridine-6-carboxylique	1.8 mg	2.78	401.29
3	bis-trifluoroacétate du (2-chloro-phényl)-amide de l'acide3-(5,6-diméthyl-1H-benzoimidazol-2-yl)-2,4,5,7-tétrahydro-pyrazolo[3,4-c]pyridine-6-carboxylique	16 mg	2.92	421.25

4	(3-chloro-phényl)-amide de l'acide3-(5,6-diméthyl-1H-benzimidazol-2-yl)-2,4,5,7-tétrahydro-pyrazolo[3,4-c]pyridine-6-carboxylique	7.9 mg	3.89	421.24
5	(4-chloro-phényl)-amide de l'acide3-(5,6-diméthyl-1H-benzimidazol-2-yl)-2,4,5,7-tétrahydro-pyrazolo[3,4-c]pyridine-6-carboxylique	9.8 mg	3.36	421.25
6	bis-trifluoroacétate du butylamide de l'acide3-(5,6-diméthyl-1H-benzimidazol-2-yl)-2,4,5,7-tétrahydro-pyrazolo[3,4-c]pyridine-6-carboxylique	2.4 mg	2.8	367.31
7	thiophen-2-ylamide de l'acide3-(5,6-diméthyl-1H-benzimidazol-2-yl)-2,4,5,7-tétrahydro-pyrazolo[3,4-c]pyridine-6-carboxylique	3.8 mg	2.77	393.24
8	bis-trifluoroacétate du (2-methoxy-phényl)-amide de l'acide3-(5,6-diméthyl-1H-benzimidazol-2-yl)-2,4,5,7-tétrahydro-pyrazolo[3,4-c]pyridine-6-carboxylique	14.4 mg	3.14	417.28
9	bis-trifluoroacétate du o-tolylamide de l'acide3-(5,6-diméthyl-1H-benzimidazol-2-yl)-2,4,5,7-tétrahydro-pyrazolo[3,4-c]pyridine-6-carboxylique	16.2 mg	2.68	401.29

**Exemple 11 :** 3-(5,6-Diméthyl-1H-benzimidazol-2-yl)-4,5,6,7-tétrahydro-2H-pyrazolo[3,4-c]pyridine



La 3-(5,6-diméthyl-1H-benzimidazol-2-yl)-4,5,6,7-tétrahydro-2H-pyrazolo[3,4-c]pyridine peut être préparée de la façon suivante :

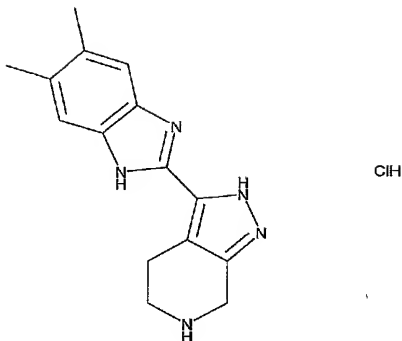
- A une solution de 670 mg de 3-(2-amino-4,5-diméthyl-phénylcarbamoyl)-2,4,5,7-tétrahydro-pyrazolo[3,4-c]pyridine-6-carboxylate de tert-butyle dans 9 mL de THF sont additionnés 9 mL d'eau et 2.8 mL d'acide trifluoroacétique. Après 2 heures d'agitation à 80°C, le milieu réactionnel est concentré sous pression réduite. Il est ensuite repris dans de l'eau et le précipité formé est récupéré par filtration sur fritté, lavé avec une solution aqueuse de soude 1N et séché. La phase aqueuse obtenue est alors extraite avec du dichlorométhane, puis la phase organique est séchée sur sulfate de magnésium et concentrée sous pression réduite. Le résidu obtenu et le précipité sont réunis puis mis en solution dans le méthanol avec quelques gouttes de DMF. Cette solution est ensuite déposée sur phase MEGA BE-SCX. La phase SCX est ensuite lavée avec du méthanol puis extraite avec une solution d'ammoniac 2M dans le méthanol. La solution d'extraction obtenue est alors concentrée sous pression réduite. On obtient ainsi 46. mg de 3-(5,6-diméthyl-1H-benzimidazol-2-yl)-4,5,6,7-tétrahydro-2H-pyrazolo[3,4-c]pyridine sous forme de poudre beige dont les caractéristiques sont les suivantes :

- |    |      |         |  |             |
|----|------|---------|--|-------------|
| 20 | El : | m/z=267 | M <sup>+</sup>                                     | pic de base |
|    |      | m/z=238 | [M - NHCH <sub>2</sub> ] <sup>+</sup>              |             |
|    |      | m/z=209 | [M - C <sub>3</sub> H <sub>8</sub> N] <sup>+</sup> |             |

- R.M.N. <sup>1</sup>H (300 MHz, (CD<sub>3</sub>)<sub>2</sub>SO, δ en ppm) : 2,31 et 2,32 (2 s : 6H en totalité) ; 2,81 (t large, J = 5 Hz : 2H) ; 2,92 (t large, J = 5 Hz : 2H) ; 3,83 (s large : 2H) ; 7,22 (s large : 1H) ; 7,40 (s large : 1H) ; 12,28 (mf : 1H) ; 12,73 (mf : 1H).

Exemple 12 : Chlorhydrate de la 3-(5,6-diméthyl-1H-benzimidazol-2-yl)-4,5,6,7-tétrahydro-2H-pyrazolo[3,4-c]pyridine





Le chlorhydrate de la 3-(5,6-diméthyl-1H-benzimidazol-2-yl)-4,5,6,7-tétrahydro-2H-pyrazolo[3,4-c]pyridine peut être préparé de la façon suivante :

A une solution de 1.7 g de 3-(2-amino-4,5-diméthyl-phénylcarbamoyl)-2,4,5,7-tétrahydro-pyrazolo[3,4-c]pyridine-6-carboxylate de tert-butyle dans 40 mL d'éthanol est additionné 9 mL d'une solution aqueuse d'acide chlorhydrique 5N. Après 60 heures d'agitation à 80°C, le milieu réactionnel est ramené à température ambiante. Le précipité formé est récupéré par filtration sur fritté et séché. On obtient ainsi 1.04 g de chlorhydrate de la 3-(5,6-diméthyl-1H-benzimidazol-2-yl)-4,5,6,7-tétrahydro-2H-pyrazolo[3,4-c]pyridine sous forme de poudre beige dont les caractéristiques sont les suivantes :

El :	m/z=267	M <sup>+</sup>	pic de base
	m/z=238	[M - CH <sub>2</sub> NH] <sup>+</sup>	
	m/z=209	[M - C <sub>3</sub> H <sub>8</sub> N] <sup>+</sup>	
15	m/z=36	[HCl] <sup>+</sup>	

R.M.N. <sup>1</sup>H (300 MHz, (CD<sub>3</sub>)<sub>2</sub>SO avec ajout de quelques gouttes de CD<sub>3</sub>COOD, δ en ppm) : 2,40 (s : 6H) ; 3,23 (t large, J = 5,5 Hz : 2H) ; 3,45 (t, J = 5,5 Hz : 2H) ; 4,45 (s : 2H) ; 7,54 (s : 2H).

Le 3-(2-amino-4,5-diméthyl-phénylcarbamoyl)-2,4,5,7-tétrahydro-pyrazolo [3,4-c]pyridine-6-carboxylate de tert-butyle peut être préparé de la façon suivante :

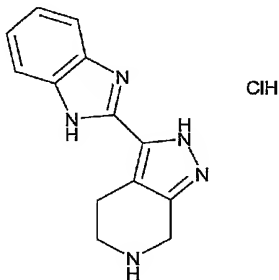
A une solution de 3 g de l'acide 2,4,5,7-tétrahydro-pyrazolo[3,4-c]pyridine-6-carboxylate de tert-butyle-3-carboxylique dans 50 mL de DMF anhydre, sont additionnés, à température ambiante, 8,5 g de HBTU ainsi que 2.9 g de

diisopropyléthylamine. Après vingt minutes d'agitation à température ambiante, sont additionnés 3.06 g de 4,5-diamino-o-xylène. Après 60 heures d'agitation à température ambiante, le milieu réactionnel est dilué dans 3 L d'une solution aqueuse de NaHCO<sub>3</sub> à pH supérieur à 7, contenant 20 g de NaCl. La phase aqueuse est extraite trois fois avec 1 L d'acétate d'éthyle, puis les phases organiques rassemblées sont séchées sur sulfate de magnésium et concentrées sous pression réduite. Le résidu brut obtenu est repris dans 150 mL de dichlorométhane et l'insoluble est éliminé par filtration sur fritté. Le filtrat est alors concentré sous pression réduite et purifié par chromatographie sur silice (20-45  $\mu$ m Amicon) avec un gradient de 50 à 100 % d'acétate d'éthyle dans le cyclohexane. Les fractions contenant le produit recherché sont réunies et concentrées sous pression réduite. On obtient ainsi 4.37 g de 3-(2-amino-phénylcarbamoyl)-2,4,5,7-tétrahydro-pyrazolo[3,4-c]pyridine-6-carboxylate de tert-butyle sous forme d'une poudre beige dont les caractéristiques sont les suivantes :

EI :    m/z=385        M<sup>+</sup>                    pic de base  
           m/z=329        [M - C<sub>4</sub>H<sub>8</sub>]<sup>+</sup>  
           m/z=312        [M - C<sub>4</sub>H<sub>8</sub>O]<sup>+</sup>  
           m/z=57         [C<sub>4</sub>H<sub>8</sub>]<sup>+</sup>

R.M.N. <sup>1</sup>H (300 MHz, (CD<sub>3</sub>)<sub>2</sub>SO,  $\delta$  en ppm) : 1,46 (s : 9H) ; 2,10 et 2,12 (2 s : 3H chacun) ; 2,77 (mt : 2H) ; 3,58 (t, J = 5,5 Hz : 2H) ; 4,53 (s : 2H) ; 4,57 (mf : 2H) ; 6,60 (s : 1H) ; 7,14 (s large : 1H) ; 9,10 (mf : 1H) ; 13,08 (mf : 1H).

**Exemple 13 :** Chlorhydrate de la 3-(1H-benzimidazol-2-yl)-4,5,6,7-tétrahydro-2H-pyrazolo[3,4-c]pyridine



Le chlorhydrate de la 3-(1H-benzimidazol-2-yl)-4,5,6,7-tétrahydro-2H-pyrazolo[3,4-c]pyridine peut être préparé de la façon suivante :

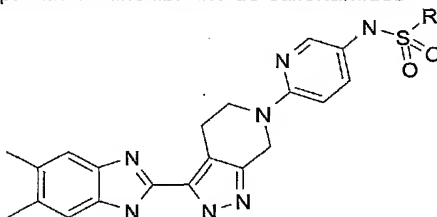
- 5 A une solution de 200 mg de 3-(2-amino-phénylcarbamoyl)-2,4,5,7-tétrahydro-pyrazolo[3,4-c]pyridine-6-carboxylate de tert-butyle dans 1 mL d'éthanol est additionné 2.2 mL d'une solution aqueuse d'acide chlorhydrique 5 N. Après 20 heures d'agitation à 80°C, le milieu réactionnel est ramené à température ambiante. L'insoluble est éliminé par filtration sur fritté et le filtrat est concentré sous pression réduite. On obtient ainsi 84 mg de chlorhydrate de la 3-(1H-benzimidazol-2-yl)-4,5,6,7-tétrahydro-2H-pyrazolo[3,4-c]pyridine
- 10 sous forme de poudre orangée dont les caractéristiques sont les suivantes :
- LC/MS (Méthode A) : ion moléculaire détecté : 240.26 ; temps de rétention = 1.68 minutes

Le 3-(2-amino-phénylcarbamoyl)-2,4,5,7-tétrahydro-pyrazolo[3,4-c]pyridine-6-carboxylate de tert-butyle peut être préparé de la façon suivante :

- 15 A une solution de 150 mg de l'acide 2,4,5,7-tétrahydro-pyrazolo[3,4-c]pyridine-6-carboxylate de tert-butyle-3-carboxylique dans 1 mL de DMF anhydre, sont additionnés, à température ambiante, 425 mg de HBTU ainsi que 145 mg de diisopropyléthylamine. Après vingt minutes d'agitation à température ambiante, sont additionnés 121 mg d'orthophénylènediamine.
- 20 Après 20 heures d'agitation à température ambiante, le milieu réactionnel est dilué dans 100 mL d'eau et 50 mL d'acétate d'éthyle.. La phase aqueuse est extraite trois fois avec 50 mL d'acétate d'éthyle, puis les phases organiques rassemblées sont séchées sur sulfate de magnésium et concentrées sous pression réduite. Le résidu brut obtenu est purifié par HPLC (phase inverse
- 25 C18 Lichroprep 12 µm) avec un gradient linéaire de 5 à 95 % d'acétonitrile contenant 0,07 % (v/v) d'acide trifluoroacétique dans l'eau contenant 0,07 % (v/v) d'acide trifluoroacétique, à un débit de 10 mL/mn. Les fractions contenant le produit recherché sont réunies et déposées sur phase MEGA BE-SCX. La phase SCX est ensuite lavée avec du méthanol puis extraite
- 30 avec une solution d'ammoniac 2M dans le méthanol. La solution d'extraction obtenue est alors concentrée sous pression réduite. On obtient ainsi 200 mg de 3-(2-amino-phénylcarbamoyl)-2,4,5,7-tétrahydro-pyrazolo[3,4-c]pyridine-6-carboxylate de tert-butyle sous forme d'une poudre beige dont les caractéristiques sont les suivantes :

LC/MS (Méthode A) : Ion moléculaire détecté : 358,34 ; temps de rétention = 3,19 minutes.

Exemple 14 : Préparation d'une librairie de sulfonamides



- 5 La librairie de sulfonamides peut être préparée de la façon suivante :  
 40 mg de 6-[3-(5,6-diméthyl-1H-benzimidazol-2-yl)-2,4,5,7-tétrahydro-pyrazolo[3,4-c]pyridin-6-yl]-pyridin-3-ylamine sont mis en suspension dans 2 mL de dichlorométhane et la solution obtenue est distribuée dans 4 tubes à essais, à raison de 500  $\mu$ L par tube.
- 10 Les 4 chlorures de sulfonyle (tableau 12) sont pesés et additionnés dans chacun des 4 tubes à essais, suivis de 15.6  $\mu$ L de triéthylamine.

Tableau 12 : Chlorures de sulfonyle utilisés

Entrée	Nom	Quantité
1	CHLORURE DE THIOPHENE-2-SULFONYLE	5.6 mg
2	CHLORURE DE 4-METHOXYBENZENESULFONYLE	6.3 mg
3	CHLORURE DE 2-CHLOROBENZENESULFONYLE	6.4 mg
4	CHLORURE DE 2-METHOXY-4-METHYLBENZENESULPHONYLE	6.8 mg

Les 4 mélanges réactionnels sont agités par agitation orbitaire à 40°C pendant 15 heures.

- 15 Pour chaque mélange réactionnel, un prélèvement de 5  $\mu$ L est effectué et dilué dans 100  $\mu$ L de DMSO (Gilson Liquid Handler Quad-Z 215). Chaque échantillon en solution dans le DMSO ainsi obtenu, est analysé par LC/MS (Méthode A).

- 20 Les 4 mélanges réactionnels sont ensuite évaporés à sec et les résidus d'évaporation sont placés en solution dans 500  $\mu$ L de DMSO chacun et les

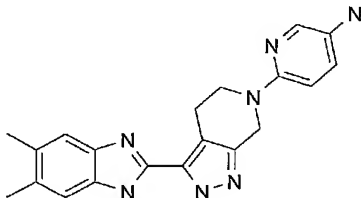
solutions obtenues sont purifiées par LC/MS (Méthode B). Après purification par LC/MS, les fractions contenant les composés recherchés sont (éventuellement réunies) déposées sur phase SCX (500 mg de phase CUBCX1-HL). Les phases SCX sont ensuite lavées avec du méthanol puis  
 5 extraites avec une solution d'ammoniac 2M dans le méthanol. Les solutions d'extraction sont collectées en tubes de verre tarés, évaporées à sec (évaporateur centrifuge Savant AES 2000 ou Genevac HT8), pesées (Mettler Toledo Automated Workstation LA200) et diluées à 10 mM dans le DMSO (Gilson Liquid Handler Quad-Z 215). Chaque solution obtenue est analysée  
 10 par LC/MS (Méthode A).

Les composés suivants (Tableau 13), ont été isolés et caractérisés par leur temps de rétention et pic moléculaire en Spectrométrie de Masse (Méthode A).

Tableau 13 : librairie de sulfonamides obtenue

Entrée	Nom	Quantité de produit obtenue	Temps de rétention (minutes)	Ion moléculaire détecté
1	N-{6-[3-(5,6-diméthyl-1H-benzimidazol-2-yl)-2,4,5,7-tétrahydro-pyrazolo[3,4-c]pyridin-6-yl]-pyridin-3-yl}-thiophène-2-sulfonamide	2.9 mg	3.07	506.21
2	N-{6-[3-(5,6-Diméthyl-1H-benzimidazol-2-yl)-2,4,5,7-tétrahydro-pyrazolo[3,4-c]pyridin-6-yl]-pyridin-3-yl}-4-méthoxy-benzènesulfonamide	3.0 mg	3.20	530.25
3	2-Chloro-N-{6-[3-(5,6-diméthyl-1H-benzimidazol-2-yl)-2,4,5,7-tétrahydro-pyrazolo[3,4-c]pyridin-6-yl]-pyridin-3-yl}-benzènesulfonamide	3.0 mg	3.38	534.21
4	N-{6-[3-(5,6-Diméthyl-1H-benzimidazol-2-yl)-2,4,5,7-tétrahydro-pyrazolo[3,4-c]pyridin-6-yl]-pyridin-3-yl}-2-méthoxy-4-méthyl-benzènesulfonamide	3.8 mg	3.38	544.26

Exemple 15 : 6-[3-(5,6-Diméthyl-1H-benzimidazol-2-yl)-2,4,5,7-tétrahydro-pyrazolo[3,4-c]pyridin-6-yl]-pyridin-3-ylamine

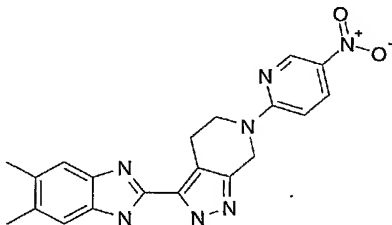


La 6-[3-(5,6-diméthyl-1H-benzimidazol-2-yl)-2,4,5,7-tétrahydro-pyrazolo[3,4-c]pyridin-6-yl]-pyridin-3-ylamine peut être préparée de la façon suivante :

A une solution de 545 mg de 3-(5,6-diméthyl-1H-benzimidazol-2-yl)-6-(5-nitro-pyridin-2-yl)-4,5,6,7-tétrahydro-2H-pyrazolo[3,4-c]pyridine dans 60 mL d'éthanol est additionné 55 mg de Pd/CaCO<sub>3</sub> 10%. Après 15 heures d'agitation à 35°C sous 3 bars d'hydrogène, le milieu réactionnel est ramené à température ambiante, filtré sur célite puis concentré sous pression réduite. On obtient ainsi 300 mg de 6-[3-(5,6-diméthyl-1H-benzimidazol-2-yl)-2,4,5,7-tétrahydro-pyrazolo[3,4-c]pyridin-6-yl]-pyridin-3-ylamine sous forme de poudre marron dont les caractéristiques sont les suivantes :

El m/z=359 M<sup>+</sup> pic de base  
 15 m/z=266 (M - C<sub>5</sub>H<sub>5</sub>N<sub>2</sub>)<sup>+</sup>

Exemple 16 : 3-(5,6-Diméthyl-1H-benzimidazol-2-yl)-6-(5-nitro-pyridin-2-yl)-4,5,6,7-tétrahydro-2H-pyrazolo[3,4-c]pyridine

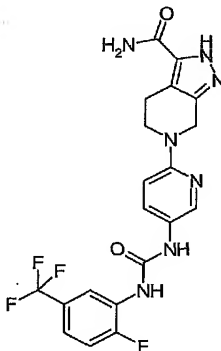


La 3-(5,6-diméthyl-1H-benzimidazol-2-yl)-6-(5-nitro-pyridin-2-yl)-4,5,6,7-tétrahydro-2H-pyrazolo[3,4-c]pyridine peut être préparée de la façon suivante :

A une solution de 500 mg de chlorhydrate de la 3-(5,6-diméthyl-1H-benzimidazol-2-yl)-4,5,6,7-tétrahydro-2H-pyrazolo[3,4-c]pyridine dans 5 mL de diméthylformamide sont additionnés 287 mg de 2-chloro-5-nitropyridine et 500 mg de carbonate de potassium. Après 20 heures d'agitation à température ambiante, le milieu réactionnel est additionné à 50 ml d'eau. Le précipité formé est récupéré par filtration sur fritté, lavé avec 3 fois 15 mL d'eau puis séché sous pression réduite. On obtient ainsi 548 mg de 3-(5,6-diméthyl-1H-benzimidazol-2-yl)-6-(5-nitro-pyridin-2-yl)-4,5,6,7-tétrahydro-2H-pyrazolo[3,4-c]pyridine sous forme de poudre jaune dont les caractéristiques sont les suivantes :

El :  $m/z=389$   $M^+$  pic de base  
 $m/z=266$   $(M - C_5H_3N_2O_2)^+$

Exemple 17: 6-{5-[3-(2-Fluoro-5-trifluorométhyl-phényl)-uréido]-pyridin-2-yl}-4,5,6,7-tétrahydro-2H-pyrazolo[3,4-c]pyridine-3-carboxamide



Le 6-{5-[3-(2-Fluoro-5-trifluorométhyl-phényl)-uréido]-pyridin-2-yl}-4,5,6,7-tétrahydro-2H-pyrazolo[3,4-c]pyridine-3-carboxamide peut être préparé de la façon suivante à partir du 6-(5-tert-butoxycarbonylamino-pyridin-2-yl)-4,5,6,7-tétrahydro-2H-pyrazolo[3,4-c]pyridine-3-carboxylate d'éthyle:

L'estér éthylique du 6-(5-tert-butoxycarbonylamino-pyridin-2-yl)-4,5,6,7-tétrahydro-2H-pyrazolo[3,4-c]pyridine-3-carboxylate d'éthyle est transformé en carboxamide par amidification par une solution d'ammoniaque et conduit à

l'obtention de 6-(5-tert-butoxycarbonylamino-pyridin-2-yl)-4,5,6,7-tétrahydro-2H-pyrazolo[3,4-c]pyridine-3-carboxamide.

EI :  $m/z=358$

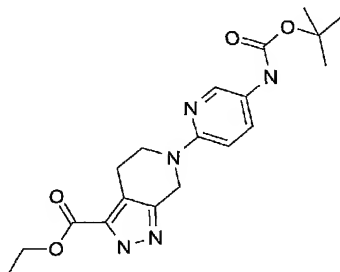
- 5 Le groupement amine du 6-(5-tert-butoxycarbonylamino-pyridin-2-yl)-4,5,6,7-tétrahydro-2H-pyrazolo[3,4-c]pyridine-3-carboxamide est déprotégé en milieu acide (acide trifluoroacétique dans le dichlorométhane) et conduit à l'obtention de 6-(5-amino-pyridin-2-yl)-4,5,6,7-tétrahydro-2H-pyrazolo[3,4-c]pyridine-3-carboxamide.

EI :  $m/z=258$

- 10 La fonction urée est introduite sur le 6-(5-amino-pyridin-2-yl)-4,5,6,7-tétrahydro-2H-pyrazolo[3,4-c]pyridine-3-carboxamide selon la méthode décrite à l'exemple 1 en utilisant le 2-fluoro-5-(trifluorométhyl)phényl-isocyanate, et conduit à l'obtention du 6-{5-[3-(2-fluoro-5-trifluorométhylphényl)-uréido]-pyridin-2-yl}-4,5,6,7-tétrahydro-2H-pyrazolo[3,4-c]pyridine-3-carboxamide.

EI :  $m/z=463$

**Exemple 18 :** 6-(5-tert-Butoxycarbonylamino-pyridin-2-yl)-4,5,6,7-tétrahydro-2H-pyrazolo[3,4-c]pyridine-3-carboxylate d'éthyle



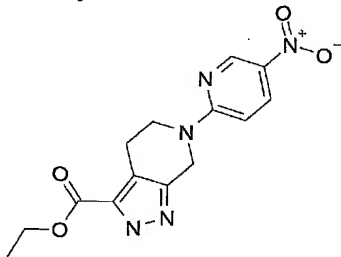
- 20 Le 6-(5-tert-Butoxycarbonylamino-pyridin-2-yl)-4,5,6,7-tétrahydro-2H-pyrazolo[3,4-c]pyridine-3-carboxylate d'éthyle peut être préparé de la façon suivante :  
A une solution de 50 mg de 6-(5-nitro-pyridin-2-yl)-4,5,6,7-tétrahydro-2H-pyrazolo[3,4-c]pyridine-3-carboxylate d'éthyle dans 6 mL de méthanol sont additionnés 5 mg de Pd/C 10 % et 38 mg de di-tert-butylidicarbonate. Après



12 heures d'agitation à température ambiante sous 3 bars d'hydrogène, le milieu réactionnel est filtré sur célite puis concentré sous pression réduite. Le brut réactionnel obtenu est purifié par chromatographie flash (SiO<sub>2</sub>, CH<sub>2</sub>Cl<sub>2</sub>/MeOH gradient 75/25 à 25/75). On obtient ainsi 20 mg de 6-(5-tert-Butoxycarbonylamino-pyridin-2-yl)-4,5,6,7-tétrahydro-2H-pyrazolo[3,4-c]pyridine-3-carboxylate d'éthyle sous forme de poudre blanche dont les caractéristiques sont les suivantes :

	EI :	m/z=387	M <sup>+</sup>	
		m/z=331	(M - C <sub>4</sub> H <sub>8</sub> ) <sup>+</sup>	pic de base
10		m/z=286	(m/z=331 - CO <sub>2</sub> H) <sup>+</sup>	
		m/z=194	C <sub>9</sub> H <sub>12</sub> N <sub>3</sub> O <sub>2</sub> <sup>+</sup>	
		m/z=57	C <sub>4</sub> H <sub>9</sub> <sup>+</sup>	

**Exemple 19 :** 6-(5-Nitro-pyridin-2-yl)-4,5,6,7-tétrahydro-2H-pyrazolo[3,4-c]pyridine-3-carboxylate d'éthyle



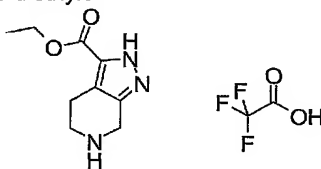
Le 6-(5-Nitro-pyridin-2-yl)-4,5,6,7-tétrahydro-2H-pyrazolo[3,4-c]pyridine-3-carboxylate d'éthyle peut être préparé de la façon suivante :

A une solution de 1 g de trifluoroacétate de la 3-(5,6-diméthyl-1H-benzimidazol-2-yl)-4,5,6,7-tétrahydro-2H-pyrazolo[3,4-c]pyridine dans 10 mL de pyridine sont additionnés 522 mg de 2-chloro-5-nitropyridine. Après 20 heures d'agitation à température ambiante, le milieu réactionnel est concentré sous pression réduite. Le précipité formé est récupéré par filtration sur fritté, lavé avec 3 fois 15 mL d'eau, puis séché sous pression réduite. Le brut réactionnel obtenu est purifié par chromatographie flash (SiO<sub>2</sub>, cyclohexane/AcOEt gradient 75/25 à 25/75). On obtient ainsi 450 mg de 6-(5-Nitro-pyridin-2-yl)-4,5,6,7-tétrahydro-2H-pyrazolo[3,4-c]pyridine-3-carboxylate d'éthyle sous forme de poudre jaune dont les caractéristiques sont les suivantes :

El :	m/z=317	M <sup>+</sup>	pic de base
	m/z=271	(M - NO <sub>2</sub> ) <sup>+</sup>	
	m/z=194	(M - C <sub>5</sub> H <sub>3</sub> N <sub>2</sub> O <sub>2</sub> ) <sup>+</sup>	
	m/z=148	(m/z=194 - C <sub>2</sub> H <sub>6</sub> O) <sup>+</sup>	

5

Exemple 20 : Trifluoroacétate de 4,5,6,7-tétrahydro-2H-pyrazolo[3,4-c]pyridine-3-carboxylate d'éthyle



10 Le trifluoroacétate du 4,5,6,7-tétrahydro-2H-pyrazolo[3,4-c]pyridine-3-carboxylate d'éthyle peut être préparé de la façon suivante :

A une solution de 3 g de 2,4,5,7-tétrahydro-pyrazolo[3,4-c]pyridyl-3,6-dicarboxylate de 6-tert-butyle 3-éthyle dans 50 mL de tétrahydrofurane, sont additionnés 50 mL d'eau suivis de 12 mL d'acide trifluoroacétique. Après 2 heures d'agitation au reflux, le milieu réactionnel est ramené à température ambiante et est additionné d'une solution aqueuse saturée de Na<sub>2</sub>CO<sub>3</sub> jusqu'à l'obtention d'un pH basique. La phase aqueuse obtenue est extraite 3 fois avec de l'acétate d'éthyle. Les phases organiques rassemblées sont séchées sur sulfate de magnésium et concentrées sous pression réduite. On obtient ainsi 1.49 g de trifluoroacétate du 4,5,6,7-tétrahydro-2H-pyrazolo[3,4-c]pyridine-3-carboxylate d'éthyle dont les caractéristiques sont les suivantes :

20	El :	m/z=195	M <sup>+</sup>	
		m/z=166	(M - CH <sub>3</sub> N) <sup>+</sup>	pic de base
		m/z=138	(M - C <sub>3</sub> H <sub>7</sub> N) <sup>+</sup>	
		m/z=120	(m/z=166 - C <sub>2</sub> H <sub>6</sub> O) <sup>+</sup>	
25		m/z=92	(m/z=120 - CO) <sup>+</sup>	

**Mesures du potentiel d'inhibition des produits à l'encontre de l'activité des kinases Tie2 et KDR :**

L'activité inhibitrice des produits à l'encontre des kinases Tie2 et KDR est testée selon les protocoles expérimentaux décrits ci-dessous.

## 1. Tie2

La séquence codante de Tie2 humain correspondant aux acides aminés du domaine intracellulaire 776-1124 a été générée par PCR en utilisant le cDNA isolé de placenta humain comme modèle. Cette séquence a été introduite  
5 dans un vecteur d'expression *baculovirus* pFastBacGT sous forme de protéine de fusion GST.

L'effet inhibiteur des molécules est déterminé dans un test de phosphorylation de PLC par Tie2 en présence de GST-Tie2 purifiée à environ 80 % d'homogénéité. Le substrat est composé des fragments SH2-SH3 de la  
10 PLC exprimée sous forme de protéine de fusion GST.

L'activité kinase de Tie2 est mesurée dans un tampon MOPS 20mM pH 7.2, contenant 10 mM MgCl<sub>2</sub>, 10 mM MnCl<sub>2</sub>, 1 mM DTT, 10 mM de glycérophosphate. Dans une plaque 96 puits FlashPlate maintenue sur glace, on dépose un mélange réactionnel composé de 70 µl de tampon kinase  
15 contenant 100 ng d'enzyme GST-Tie2 par puits. Ensuite 10 µl de la molécule à tester diluée dans du DMSO à une concentration de 10 % maximum sont ajoutés. Pour une concentration donnée, chaque mesure est effectuée en quatre exemplaires. La réaction est initiée en ajoutant 20 µl de solution contenant 2 µg de GST-PLC, 2 µM d'ATP froid et 1 µCi d'<sup>33</sup>P[ATP]. Après  
20 1 heure d'incubation à 37°C, la réaction est stoppée en ajoutant 1 volume (100 µl) d'EDTA à 200 mM. Après élimination du tampon d'incubation, les puits sont lavés trois fois avec 300 µl de PBS. La radioactivité est mesurée sur un MicroBeta1450 Wallac.

L'inhibition de l'activité Tie2 est calculée et exprimée en pourcentage d'inhibition par rapport à l'activité contrôle déterminée en l'absence de  
25 composé.

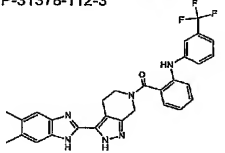
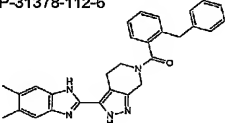
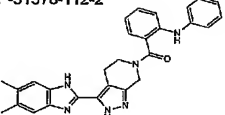
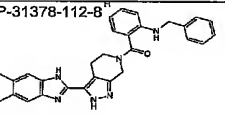
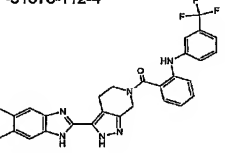
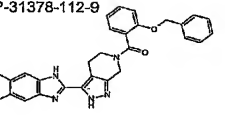
## 2. KDR

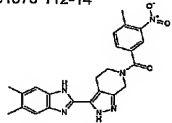
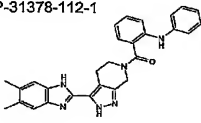
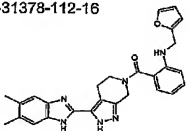
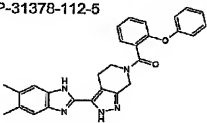
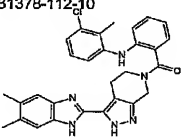
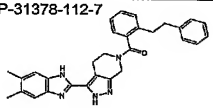
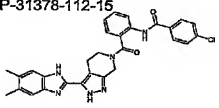
L'effet inhibiteur des composés est déterminé dans un test de phosphorylation de substrat par l'enzyme KDR *in vitro* par une technique de scintillation (plaque 96 puits, NEN).  
30

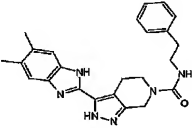
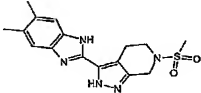
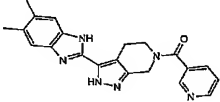
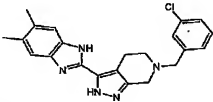
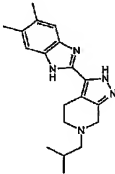
Le domaine cytoplasmique de l'enzyme KDR humaine a été cloné sous forme de fusion GST dans le vecteur d'expression *baculovirus* pFastBac. La protéine a été exprimée dans les cellules SF21 et purifiée à environ 60 % d'homogénéité.

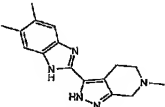
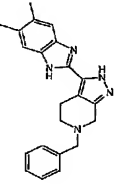
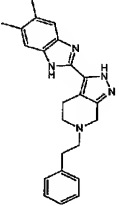
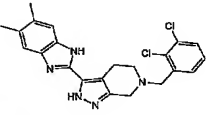
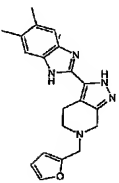
- L'activité kinase de KDR est mesurée dans 20 mM MOPS, 10 mM MgCl<sub>2</sub>, 10 mM MnCl<sub>2</sub>, 1 mM DTT, 2.5 mM EGTA, 10 mM b-glycérophosphate, pH = 7.2, en présence de 10 mM MgCl<sub>2</sub>, 100 µM Na<sub>3</sub>VO<sub>4</sub>, 1 mM NaF. 10 µl du composé sont ajoutés à 70 µl de tampon kinase contenant 100 ng d'enzyme
- 5 KDR à 4°C. La réaction est lancée en ajoutant 20 µl de solution contenant 2 µg de substrat (fragment SH2-SH3 de la PLC $\gamma$  exprimée sous forme de protéine de fusion GST), 2 µCi  $\gamma$  <sup>33</sup>P[ATP] et 2 µM ATP froid. Après 1 heure d'incubation à 37°C, la réaction est stoppée en ajoutant 1 volume (100 µl) de 200 mM EDTA. Le tampon d'incubation est retiré, et les puits sont lavés trois
- 10 fois avec 300 µl de PBS. La radioactivité est mesurée dans chaque puits en utilisant un compteur de radioactivité Top Count NXT (Packard).
- Le bruit de fond est déterminé par la mesure de la radioactivité dans quatre puits différents contenant l'ATP radioactif et le substrat seul.
- Un contrôle d'activité totale est mesuré dans quatre puits différents contenant
- 15 tous les réactifs ( $\gamma$  <sup>33</sup>P-[ATP], KDR et substrat PLC $\gamma$ ) mais en l'absence de composé.
- L'inhibition de l'activité KDR avec le composé de l'invention est exprimée en pourcentage d'inhibition de l'activité contrôle déterminée en l'absence de composé.
- 20 Le composé SU5614 (Calbiochem) (1 µM) est inclus dans chaque plaque comme contrôle d'inhibition.

## Résultats :

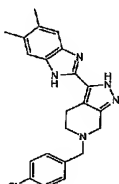
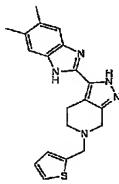
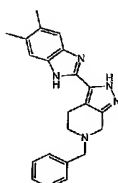
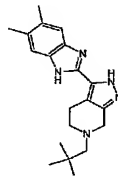
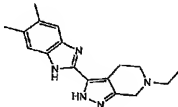
Chemistry	Tie2		KDR	
	% Inhib at 10 $\mu$ M (FRX)		% Inhib at 10 $\mu$ M	
	Assay 1	Assay 2	Assay 1	Assay 2
P-31378-112-3 	78,7	79,1	59,0	56,5
P-31378-112-6 	92,7	93,8	71,4	68,0
P-31378-112-2 	92,6	92,6	98,1	97,4
P-31378-112-8 	87,8	93,3	86,8	89,0
P-31378-112-4 	83,1	87,2	56,2	50,1
P-31378-112-9 	82,6	85,9	53,2	45,1

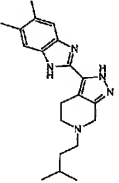
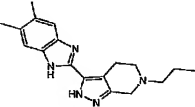
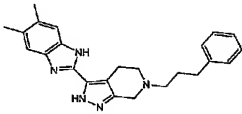
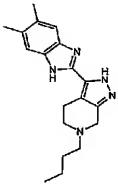
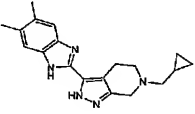
P-31378-112-14 	69,7	73,8	19,5	13,0
P-31378-112-1 	83,1	88,1	96,5	96,7
P-31378-112-16 	88,7	88,3	90,2	89,1
P-31378-112-5 	87,1	86,4	94,7	95,4
P-31378-112-10 	90,6	87,9	42,3	28,7
P-31378-112-7 	92,7	92,0	68,6	64,3
P-31378-112-15 	80,1	83,8	75,5	77,4

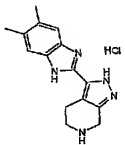
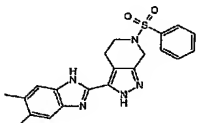
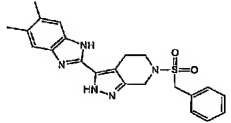
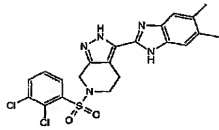
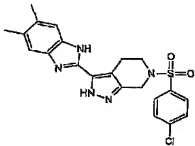
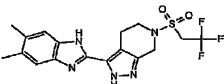
Chemistry	KDR % Inhib. 10 $\mu$ M	Tie2 % Inhib. 10 $\mu$ M
 Chemistry 2	77,20	
 Chemistry 3	78,10	
 Chemistry 4	25,40	
 Chemistry 5	88,80	
 Chemistry 6	2,10	41,2

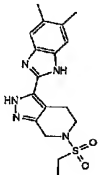
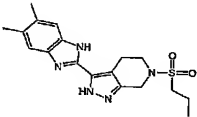
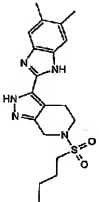
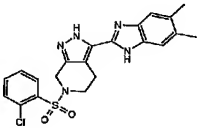
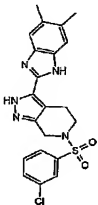
 Chemistry 7	12,15	48,6
 Chemistry 8	85,45	64,3
 Chemistry 9	15,45	56,7
 Chemistry 10	79,55	83,9
 Chemistry 11	70,35	66,1

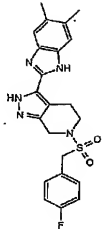
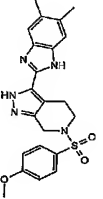
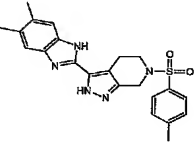
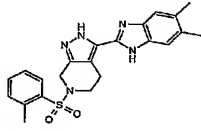


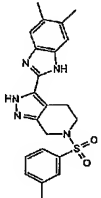
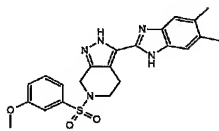
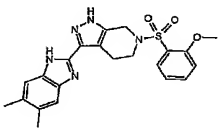
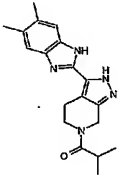
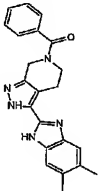
 Chemistry 12	69,05	60,3
 Chemistry 13	84,50	41,5
 Chemistry 14	14,85	50,5
 Chemistry 15	39,30	69,4
 Chemistry 16	-5,75	36,4

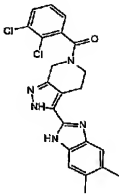
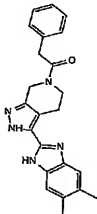
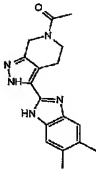
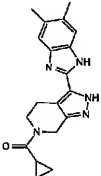
 Chemistry 17	-2,90	50,7
 Chemistry 18	-3,70	55,0
 Chemistry 19	17,90	68,1
 Chemistry 20	1,65	47,6
 Chemistry 21	1,85	33,0

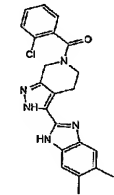
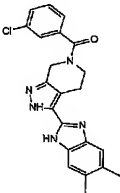
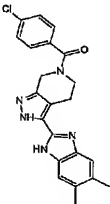
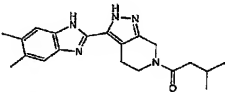
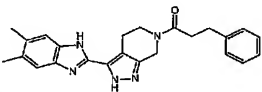
 Chemistry 22	3,65	24,9
 Chemistry 23	48	92,5
 Chemistry 24	70,75	91,5
 Chemistry 25	31,85	89,1
 Chemistry 26	27,75	89,1
 Chemistry 27	22,95	65,4

 Chemistry 28	16,50	78,5
 Chemistry 29	13,35	47,5
 Chemistry 30	15,30	44,2
 Chemistry 31	45,70	93,2
 Chemistry 32	46,45	91,5

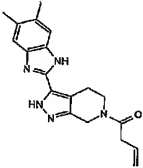
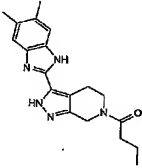
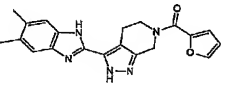
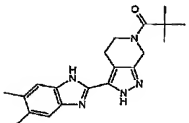
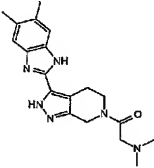
 Chemistry 33	57,70	95,9
 Chemistry 34	18,15	84,7
 Chemistry 35	27,40	88,8
 Chemistry 36	49,40	90,8

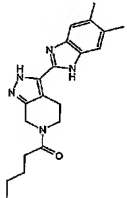
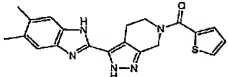
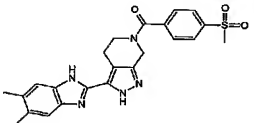
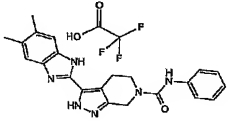
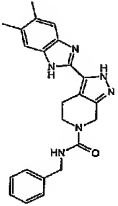
 Chemistry 37	41,20	88,3
 Chemistry 38	20,85	84,6
 Chemistry 39	30,90	97,9
 Chemistry 40	14,40	83,4
 Chemistry 41	72,50	86,3

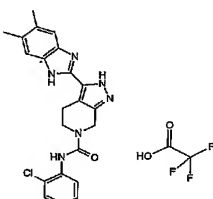
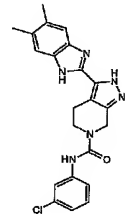
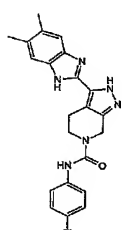
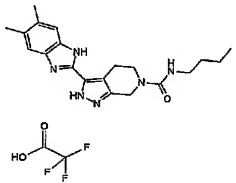
 Chemistry 42	52,65	97,4
 Chemistry 43	10,90	84,4
 Chemistry 44	41,10	90,8
 Chemistry 45	33,40	94,1

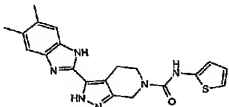
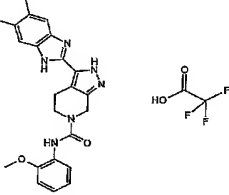
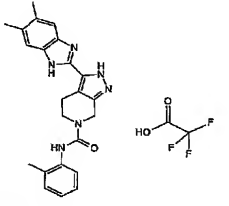
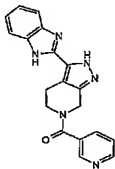
 Chemistry 46	73,05	96,7
 Chemistry 47	78,55	87,7
 Chemistry 48	41,95	83,8
 Chemistry 49	12,20	84,8
 Chemistry 50	74,75	82,4

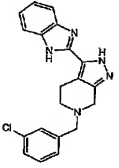
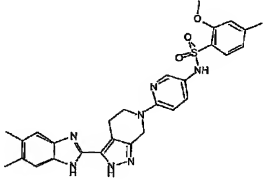
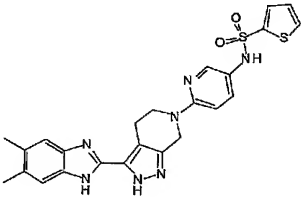
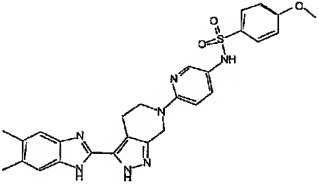
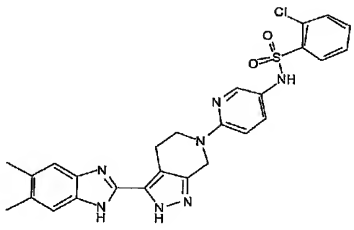


 Chemistry 51	38,70	72,9
 Chemistry 52	29,35	89,3
 Chemistry 53	74,55	92,7
 Chemistry 54	11,25	81,3
 Chemistry 55	15,95	65,4

 Chemistry 56	46,65	92,5
 Chemistry 57	75,15	94,6
 Chemistry 58	27,90	82,3
 Chemistry 59	17,6	33,2
 Chemistry 60	33,55	64,85

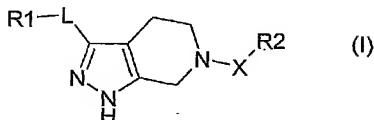
 <p>Chemistry 61</p>	12,7	3,75
 <p>Chemistry 62</p>	12,85	21
 <p>Chemistry 63</p>	-0,3	23,75
 <p>Chemistry 64</p>	18	38,5

 <p>Chemistry 65</p>	63,3	85,9
 <p>Chemistry 67</p>	8,1	18,05
 <p>Chemistry 68</p>	19,5	19,1
 <p>Chemistry 69</p>	18,55	59,3

 Chemistry 70	92,1	65,5
		98
		100
		99
		100

REVENDICATIONS

1. Produit de formule générale (I) suivante :



et ses tautomères, caractérisé en ce que :

5 L est choisi parmi liaison, CH<sub>2</sub>, CO, SO<sub>2</sub>, CONH, COO, NHCO, NH, NHSO<sub>2</sub>, SO<sub>2</sub>NH, NHCONH, CH<sub>2</sub>NH, NHCH<sub>2</sub>,

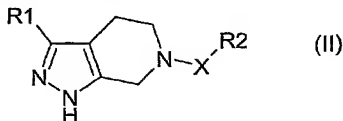
X est choisi parmi liaison, CH<sub>2</sub>, CO, SO<sub>2</sub>, CONH, COO ;

10 R1 est choisi parmi OH, H, alkyle, cycloalkyle, hétérocyclyle, aryle, hétéroaryle, éventuellement substitué, et, lorsque X est liaison, alors R1 peut aussi être halogène;

R2 est H ou choisi parmi alkyle, alkylène, cycloalkyle, hétérocyclyle, aryle, hétéroaryle, éventuellement substitué ;

15 et en ce que les substituants sont indépendamment choisis parmi R3, O-R3, halogène, NO<sub>2</sub>, SO<sub>2</sub>-R3, CO-R3, SO<sub>2</sub>NH-R3, CONH-R3, N-(R3)<sub>2</sub>, NHCO-R3, NHSO<sub>2</sub>-R3, NHCONH-R3, NHSO<sub>2</sub>NH-R3, OCO-R3, COO-R3, OSO<sub>2</sub>-R3, SO<sub>2</sub>O-R3, OCONH-R3, OSO<sub>2</sub>NH-R3, dans lequel chaque R3 est indépendamment choisi parmi H, alkyle, cycloalkyle, alcényle, aryle, hétéroaryle, hétérocyclyle, éventuellement substitué par halogène, aryle, hétéroaryle, R4, OR4, N(R4)<sub>2</sub>, dans lequel chaque R4 est indépendamment  
20 choisi parmi H, C1-C4 alkyle, et C1-C4 alkyle halogéné.

2. Produit selon la revendication 1, de formule générale (II) suivante :



et ses tautomères, caractérisé en ce que :

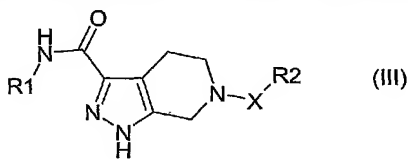
X est choisi parmi liaison, CH<sub>2</sub>, CO, SO<sub>2</sub>, CONH, COO ;

R1 est choisi parmi alkyle, cycloalkyle, hétérocyclyle, aryle, hétéroaryle, éventuellement substitué ;

R2 est H ou choisi parmi alkyle, alkylène, cycloalkyle, hétérocyclyle, aryle, hétéroaryle, éventuellement substitué ;

- 5 et en ce que les substituants sont indépendamment choisis parmi R3, O-R3, halogène, NO<sub>2</sub>, SO<sub>2</sub>-R3, CO-R3, SO<sub>2</sub>NH-R3, CONH-R3, N-(R3)<sub>2</sub>, NHCO-R3, NHSO<sub>2</sub>-R3, NHCONH-R3, NHSO<sub>2</sub>NH-R3, OCO-R3, COO-R3, OSO<sub>2</sub>-R3, SO<sub>2</sub>O-R3, OCONH-R3, OSO<sub>2</sub>NH-R3, dans lequel chaque R3 est  
 10 indépendant choisi parmi H, alkyle, cycloalkyle, alcényle, aryle, hétéroaryle, hétérocyclyle, éventuellement substitué par halogène, aryle, hétéroaryle, OR4, N(R4)<sub>2</sub>, dans lequel chaque R4 est indépendamment choisi parmi H, C1-C4 alkyle.

3. Produit selon la revendication 1, de formule générale (III) suivante :



15 (III)

et ses tautomères, caractérisé en ce que :

X est choisi parmi liaison, CH<sub>2</sub>, CO, SO<sub>2</sub>, CONH, COO ;

R1 est choisi parmi alkyle, cycloalkyle, hétérocyclyle, aryle, hétéroaryle, éventuellement substitué ;

- 20 R2 est H ou choisi parmi alkyle, alkylène, cycloalkyle, hétérocyclyle, aryle, hétéroaryle, éventuellement substitué ;

et en ce que les substituants sont indépendamment choisis parmi R3, O-R3, halogène, NO<sub>2</sub>, SO<sub>2</sub>-R3, CO-R3, SO<sub>2</sub>NH-R3, CONH-R3, N-(R3)<sub>2</sub>, NHCO-R3, NHSO<sub>2</sub>-R3, NHCONH-R3, NHSO<sub>2</sub>NH-R3, OCO-R3, COO-R3, OSO<sub>2</sub>-R3, SO<sub>2</sub>O-R3, OCONH-R3, OSO<sub>2</sub>NH-R3, dans lequel chaque R3 est  
 25 indépendant choisi parmi H, alkyle, cycloalkyle, alcényle, aryle, hétéroaryle, hétérocyclyle, éventuellement substitué par halogène, aryle, hétéroaryle, OR4, N(R4)<sub>2</sub>, dans lequel chaque R4 est indépendamment choisi parmi H, C1-C4 alkyle.

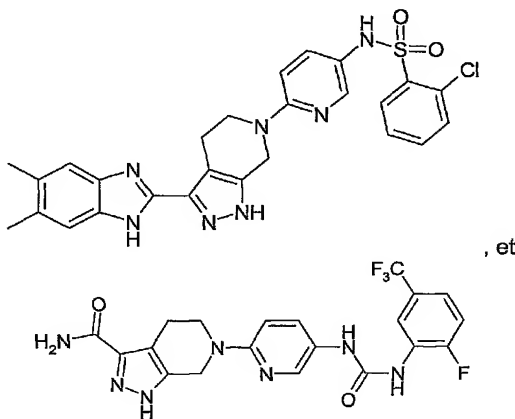
4. Produit selon l'une quelconque des revendications 1 à 3, caractérisé en ce que R1 est hétéroaryle, éventuellement substitué.
5. Produit selon la revendication 4, caractérisé en ce que R1 est choisi parmi benzimidazole, indole, pyrrole, éventuellement substitué par halogène, R4, O-R4.
6. Produit selon la revendication 5, caractérisé en ce que R1 est choisi parmi benzimidazol-2-yle, indol-2-yle, pyrrol-2-yle, éventuellement substitué par halogène, R4, O-R4.
7. Produit selon l'une quelconque des revendications 1 à 6, caractérisé en ce que R2 est choisi parmi phényle, pyridyle, thiényl, C1-C4 alkyle, C3-C7 cycloalkyle, éventuellement substitué.
8. Produit selon l'une quelconque des revendications 1 à 7, caractérisé en ce que X est choisi parmi CO, SO<sub>2</sub>.
9. Produit selon la revendication 1, caractérisé en ce que R1 est H.
10. 10. Produit selon la revendication 1, caractérisé en ce que R1 est aryle substitué.
11. Produit selon la revendication 1, caractérisé en ce que R1-L est R1-NH-CO.
12. Produit selon la revendication 11, caractérisé en ce que R1 est H.
- 20 13. Produit selon l'une quelconque des revendications 1, 11 ou 12, caractérisé en ce que X est liaison, et en ce que R2 est choisi parmi aryle substitué et hétéroaryle substitué.
14. Produit selon la revendication 13, caractérisé en ce que R2 est choisi parmi
- 25 - aryle substitué par NHSO<sub>2</sub>-R3 ou NHCONH-R3, et  
- hétéroaryle substitué par NHSO<sub>2</sub>-R3, ou NHCONH-R3.
15. Produit selon la revendication 14, caractérisé en ce qu'aryle est phényle, et en ce que hétéroaryle est choisi parmi pyridyle et pyrimidyle.



16. Produit selon la revendication 14, caractérisé en ce que R3 est choisi parmi aryle substitué et hétéroaryle substitué.

17. Produit selon la revendication 16, caractérisé en ce que R3 est substitué par un substituant sélectionné dans le groupe constitué par halogène, R4, OR4, N(R4)<sub>2</sub>, dans lequel chaque R4 est indépendamment  
5 choisi parmi H, C1-C4 alkyle, et C1-C4 alkyle halogéné.

18. Produit selon la revendication 17, caractérisé en ce qu'il est choisi parmi :



19. Produit selon l'une quelconque des revendications précédentes, caractérisé en ce qu'il est sous forme :

- 4) racémique, ou
- 5) enrichie en un stéréoisomère, ou
- 6) enrichie en un énantiomère ;

et en ce qu'il est éventuellement salifié.

20. Composition pharmaceutique comprenant un produit selon l'une quelconque des revendications précédentes, en combinaison avec un excipient pharmaceutiquement acceptable.

21. Utilisation d'un produit selon l'une quelconque des revendications 1 à 19, comme agent modulant l'activité d'une kinase.

22. Utilisation d'un produit selon la revendication 21, dans laquelle la kinase est choisie parmi Tie2 et KDR.
- 23 Utilisation d'un produit selon l'une quelconque des revendications 1 à 19, pour la fabrication d'un médicament utile pour traiter un état pathologique.
- 5 24. Utilisation selon la revendication 23, dans laquelle l'état pathologique est le cancer.